

# Direzione Progettazione e Realizzazione Lavori

S.S. 675 "UMBRO - LAZIALE" Sistema infrastrutturale del collegamento del porto di Civitavecchia con il nodo intermodale di Orte Tratta Monte Romano est - Civitavecchia 1° Stralcio Monte Romano est - Tarquinia

## PROGETTO DEFINITIVO

**COD. RM366** 

R.T.I. di PROGETTAZIONE:









Ing. Nicola Cuozzo (Integratore prestazioni specialistiche) Ordine degli Ingegneri della Provincia di Roma N. 15447	
Ing. Andrea Poli Ordine degli Ingegneri della Provincia di Torino N. 8511W	
IL RESPONSABILE DEL S.I.A.: Ing. Biagio Camaldo	
IL GEOLOGO:	_

I PROGETTISTI:

Dott. Geol. Giampiero Carrieri

Ordine regionale dei Geologi del Piemonte. N. 274

IL COORDINATORE PER LA SICUREZZA IN FASE DI PROGETTAZIONE

Dott. Geol. Giampiero Carrieri

Ordine regionale dei Geologi del Piemonte. N. 274

VISTO: IL RESPONSABILE DEL PROCEDIMENTO:

Ing. Achille Devitofranceschi

PROTOCOLLO	DATA

OPERE D'ARTE MAGGIORI: GALLERIE ARTIFICIALI GALLERIA SVINCOLO MONTE ROMANO EST SS675

Relazione tecnica e di calcolo delle opere provvisionali e delle gallerie artificiali

CODICE PROGETTO  PROGETTO  LIV. PROG.  N. PROG.  DPRM0366  D 2201		<b>nome file</b> P01GA03GENRI	REVISIONE	SCALA:		
		CODICE POIGAO3GENRE01			A	-
Α	EMISSIONE PD		MARZO 2022	Giuseppe Porcasi	G. Brino	G. Quaglio
REV.	DESCRIZIONE		DATA	REDATTO	VERIFICATO	APPROVATO

# **INDICE**

1	GE	ENERALITA'	3
2	NC	ORMATIVE DI RIFERIMENTO	5
3	CA	ARATTERISTICHE DEI MATERIALI	6
4	A١	NALISI DEI CARICHI	8
	1.1	Carichi tipo 1: Gravitazionali	8
	1.2	Sovraccarichi variabili di esercizio	10
	1.2	2.1 Schemi strutture	12
	1.3	Azione Sismica	14
	1.4	Combinazione delle azioni	16
5	VE	ERIFICA DEGLI ELEMENTI IN CALCESTRUZZO ARMATO	17
	1.5	SLU - Presso-flessione	17
	1.6	SLU - Taglio	18
	1.7	SLE – Tensioni ammissibili	20
	1.8	SLE – Verifica apertura delle fessure	20
	1.9	Armatura minima	20
6	ME	ETODI DI ANALISI	22
	1.10	Pressione Geostatica	22
	1.11	Spinta attiva - Metodo di Coulomb	22
	1.12	Spinta in presenza di falda	23
	1.13	Spinta a Riposo	23
	1.14	Spinta in presenza di sisma - Formula di Wood	24
	1.15	Strategia di soluzione	25
7	GE	ENERALITA' ANALISI NUMERICA	27
8	A١	NALISI NUMERICHE SINGOLA CANNA (zona 1)	28
	1.16	Descrizione analisi numerica e risultati	28
	1.18	Inviluppo sollecitazioni nodali	29
9	A١	NALISI NUMERICHE SINGOLA CANNA (zona 2)	30
	1.19	Descrizione analisi numerica	30
	1.21	Inviluppo sollecitazioni	31
1(	AN C	NALISI NUMERICHE DOPPIA CANNA (zona 3)	32
	1.22	Descrizione analisi numerica	32
	1.23	Inviluppo sollecitazioni	33
1	1 AN	NALISI NUMERICHE DOPPIA CANNA (zona 4)	34
	1.24	Descrizione analisi numerica	34
	1.25	Inviluppo sollecitazioni	35
12	2 AN	NALISI NUMERICHE DOPPIA CANNA (zona 5)	36

#### S.S. 675 "UMBRO-LAZIALE"

# Sistema infrastrutturale del collegamento del porto di Civitavecchia con il nodo intermodale di Orte - Tratta Monte Romano est - Civitavecchia - 1° stralcio Monte Romano est - Tarquinia

#### Progetto Definitivo

1.26	Descrizione analisi numerica	36
1.27	Inviluppo sollecitazioni	37

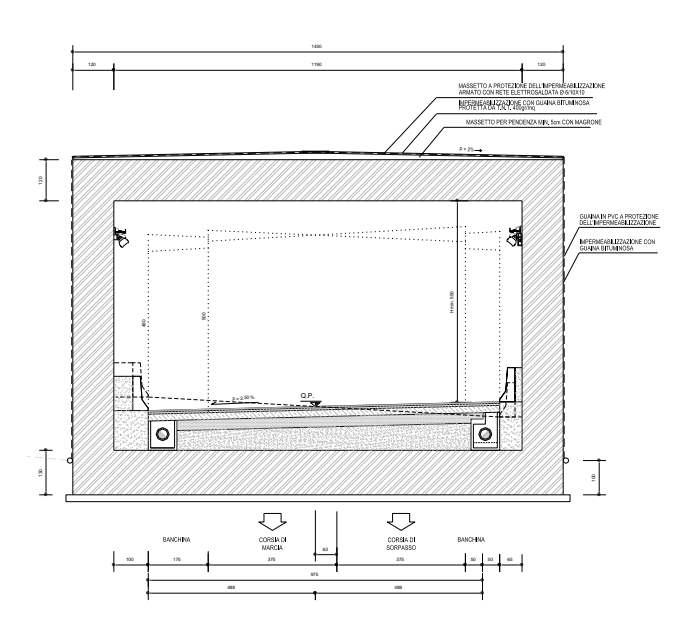
#### 1 GENERALITA'

Nel presente documento vengono riportati calcoli e verifiche di resistenza relative alla Galleria Artificiale per Attraversamento SS 675.

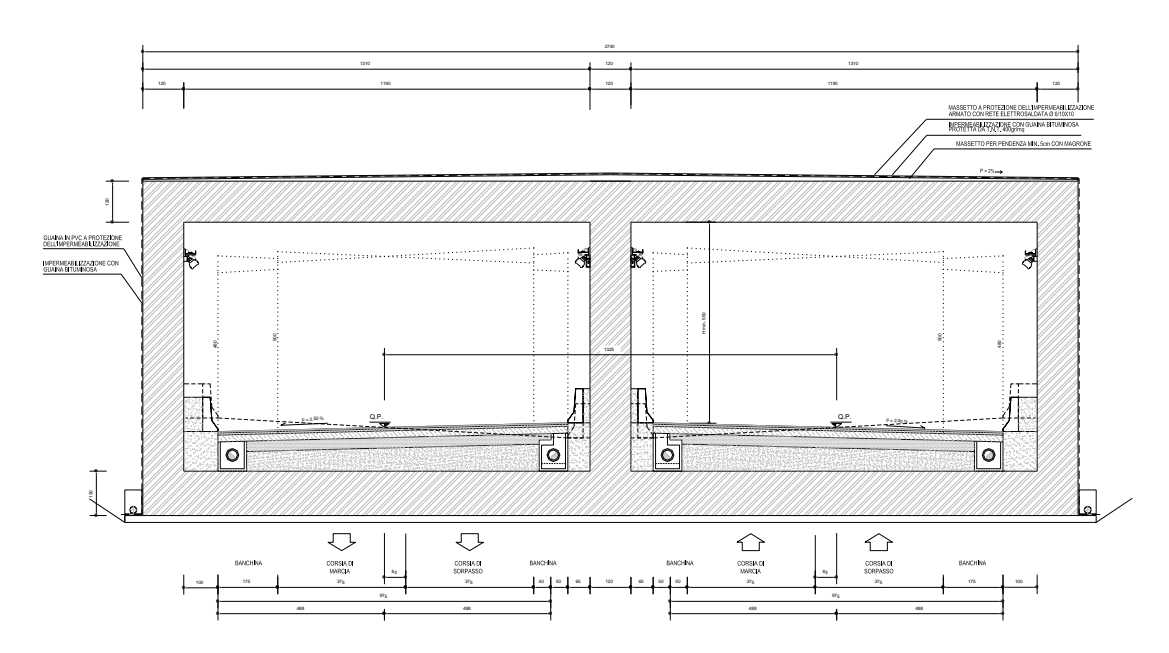
L'opera è composta da uno scatolare a sezione rettangolare per ciascuna delle due carreggiate (Nord e Sud). La carreggiata Nord si sviluppa per una lunghezza di circa 125.00m mentre la carreggiata Sud si sviluppa per circa 100.00m in un tratto le due canne sono contrapposte e formano una sezione scatolare in c.a. a doppia canna. L'opera nella zona a singola canna come in quella a doppia canna si sviluppa in un tratto sostanzialmente rettilineo.

La sezione trasversale nella porzione a singola canna ha le seguenti dimensioni massime 14.30×9.80m con una sezione utile interna di 11.90×7.30m. In tali zone inoltre sono previste delle aperture poste in corrispondenza del piedritto adiacente la linea di delimitazione tra le due carreggiate.

La sezione trasversale nella porzione a doppia canna ha le seguenti dimensioni massime 27.4×9.80m con due sezioni utili interne ciascuna costituita da 11.90×7.30m.



F 1. Sezione Trasversale singola canna



F 2. Sezione Trasversale doppia canna

Come è possibile rilevare negli elaborati grafici dell'opera in oggetto la G.A. presenta ovunque un ricoprimento di  $H_R$ =0.85m. Le analisi saranno quindi distinte tra la zona a singola e quella a doppia canna.

Nella zona a singola canna non è prevista la presenza della sovrastante sede stradale, se non in corrispondenza di un tratto molto modesto nel quale la sede stradale inetressa per altro una sola zona laterale della sezione di calcolo.

Nella zona a Doppia canna invece la sovrastante sede stradale è presente con una disposizione diversa per ciascuna sezione trasversale esaminata.

La Galleria verrà realizzata previa effettuazione di uno scavo e successive opere di rinterro atte a definire il previsto profilo di progetto finale.

#### 2 NORMATIVE DI RIFERIMENTO

- Decreto Ministeriale 5 novembre 2001, n. 6792 (S.O. n.5 alla G.U. n.3. del 4.1.02)
  - Norme funzionali e geometriche per la costruzione delle strade.
- Decreto Ministeriale 17/01/2018 Aggiornamento delle "Norme tecniche per le costruzioni"
- **Circolare 21/01/2019 n.7 C.S.LL.PP.** Istruzioni per l'applicazione dell' "aggiornamento delle norme tecniche per le costruzioni" di cui al decreto ministeriale 17/01/2018.
- UNI EN 1992-2005: "Progettazione delle strutture in calcestruzzo";
- **EN 1998-5 (2004):** Eurocode 8: Design of structuresfor earthquake resistance Part 5: Foundations, retaining, structures and geotechnical aspects
- CNR DT 203/2006 Istruzioni per la progettazione, l'esecuzione ed il controllo di strutture di calcestruzzo armato con barre di materiale composito fibrorinforzato.

#### 3 CARATTERISTICHE DEI MATERIALI

#### CALCESTRUZZO DEL RIVESTIMENTO DEFINITIVO

Calcestruzzo C28/35

Rck ≥ 35 Mpa

Copriferro (inteso come ricoprimento minimo sull'armatura) ≥ 5 cm

Fibre in propilene 1.5 kg/m<sup>3</sup>

**SLU** 

**Rck** ≥ **35 MPa** resistenza a compressione cubica caratteristica (frattile 5%)

 $\gamma_{C} = 1.5$  coefficiente parziale per SLU

 $\alpha = 0.85$  fattore che tiene conto degli effetti dei carichi di lunga durata

 $f_{ck} = 0.83$  Rck = 29.05 MPa resistenza a compressione cilindrica caratteristica (frattile 5%)

 $f_{cm} = f_{ck} + 8 = 37.05 \text{ MPa}$  resistenza a compressione cilindrica media per SLU

 $f_{cd} = a f_{ck} / \gamma_C = 16.46 \text{ MPa}$  resistenza a compressione cilindrica di progetto per SLU

 $f_{ctm} = 0.30 f_{ck}$  (2/3) = 2.83 MPa resistenza a trazione media (frattile 50%)

 $f_{ctk \ 0.05} = 0.7 \ f_{ctm} = 1.98 \ MPa \ resistenza a trazione caratteristica (frattile 5%)$ 

 $f_{\text{ctk }0.95} = 1.3 f_{\text{ctm}} = 3.69 \text{ MPa}$  resistenza a trazione caratteristica (frattile 95%)

 $f_{ctd} = f_{ctk \, 0.05} / \gamma_C = 1.32 \, MPa \, resistenza \, a \, trazione \, di \, progetto$ 

 $f_{cfm} = 1.2 f_{ctm} = 3.40 \text{ MPa}$  resistenza a trazione per flessione media (frattile 50%)

 $f_{cfk \ 0.05} = 0.7 \ f_{cfm} = 2.38 \ MPa$  resistenza a trazione per flessione caratteristica (frattile 5%)

 $f_{cfk \ 0.95} = 1.3 \ f_{cfm} = 4.42 \ MPa$  resistenza a trazione per flessione caratteristica (frattile 95%)

 $E_{Cm} = 22000(f_{cm}/10)^{(0.3)} = 32558 \text{ MPa}$  modulo di elasticità medio

SLE

 $\sigma_c < 0.60 f_{ck} = 17.43 \text{ MPa}$  stato limite delle tensioni di esercizio (per comb. caratteristica)

 $\sigma_c < 0.45 \, f_{ck} = 13.07 \, \text{MPa}$  stato limite delle tensioni di esercizio (combinaz. quasi perm.)

 $w_k < (w_1, w_2, w_3)$  verifica a fessurazione

#### **CALCESTRUZZO MAGRO**

Calcestruzzo C12/15

#### **ACCIAIO PER CEMENTO ARMATO**

B450C

SLU

 $f_{vk} \ge 450 \text{ MPa}$  tensione di snervamento caratteristica (frattile 5%)

 $y_S = 1.15$  coefficiente parziale per SLU

 $f_{yd} = f_{yk} / \gamma_S = 391.30 \text{ MPa}$  tensione di snervamento di calcolo

 $E_S = 210000 \text{ MPa}$  modulo elastico

**SLE** 

 $\sigma_s < 0.80 \; f_{yk} = 360 \; MPa$  stato limite delle tensioni di esercizio

n =15 coefficiente di omogeneizzazione

#### **IMPERMEABILIZZAZIONE**

- Resistenza a trazione >= 15MPa.
- Teli per impermeabilizzazione: sp. = 2mm

#### **CORDOLINO IDROESPANSIVO DI TENUTA IDRAULICA (WATER-STOP)**

- Dimensione: 25 x 25 mm
- Peso  $\geq$  1.10 Kg/m
- Temperatura di applicazione da -15°C a +50°C
- Stabilità alle soluzioni saline ed aggressive e resistenza all'azione inibente degli ioni calcio e magnesio
- Espansione a contatto con l'acqua: 6 volte il volume iniziale minimo senza perdita di coesione di massa

#### **TESSUTO NON TESSUTO**

- Strato di tessuto non tessuto >= 500gr/m2
- Resistenza a punzonamento >= 4.0 kN.
- Resistenza a trazione media >= 20 kN/m.

#### **DRENAGGI**

Tubi microfessurati in PVC ad alta resistenza rivestiti con TNT:

- Resistenza a trazione = 4.5MPa
- Diametro perforazione  $\emptyset = 100$ mm
- Diametro esterno Ø = 60mm
- Spessore sp = 5mm

#### 4 ANALISI DEI CARICHI

Di seguito si riportano i carichi considerati per il dimensionamento delle strutture. Il rinterro della soletta superiore, essendo sempre (singola e doppia canna) considerato di spessore pari a 0.85m ed assumendo il P.S. del terreno e del cassonetto stradale (ove presente) pari a 19 kN/m² il carico del rinterro è generalmente assunto pari a: 16.15 kN/m².

Le analisi dei carichi si riferiscono ad una sezione trasversale di sviluppo unitario (per 1.00m).

## 1.1 Carichi tipo 1: Gravitazionali

Nella tabella seguente sono stati definiti i carichi gravitazionali della porzione a singola canna

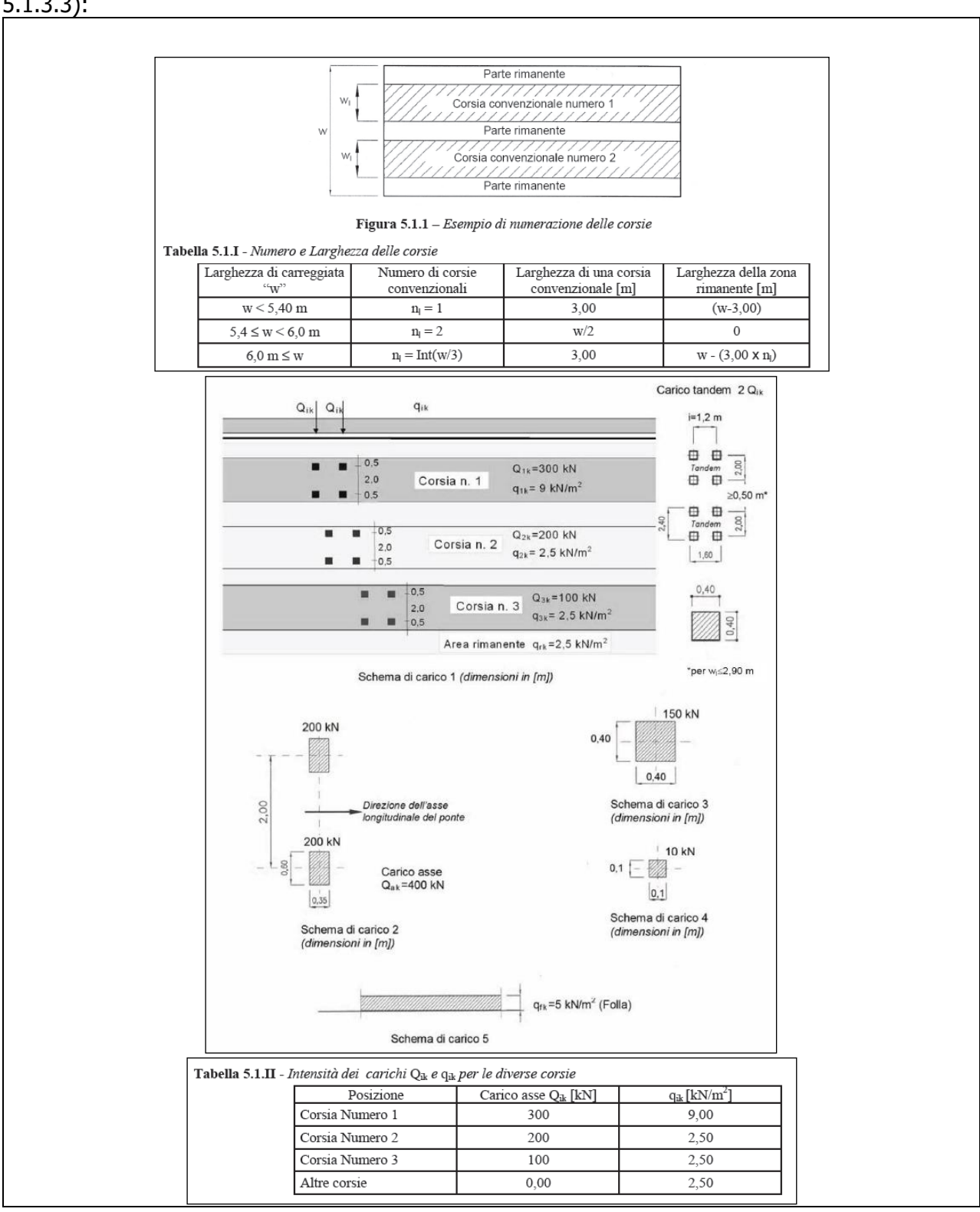
Peso proprio Galleria Artificiale: GA 00  zona GA 00  Galleria Sezione corrente Singola Canna (106.628 25 2666.00 kN/m  (1) Questo carico verrà direttamente considerato dal programma di calcolo (P.S. c.a.=25 kN/m3)  PERM C  Carichi permanenti portati elementi di arredo in Copertura  Intera estenzione GA (in Copertura)  Impianto di illuminazione ed areazione (23.8v0.5)  23.8 0.5 11.90 kN/m  PERM C: Intera estenzione GA (in Copertura)  Intera estenzione  Intera es	GALL	ERIA ARTIFICI	ALE AT	RAVE	RSAMENTO SS67	75 (SINGOLA CANNA)	
LUNGHEZZA COMPLESSIVA OPERA A SINGOLA CANN/  L= 172.85 m  Descrizione azione: "Load Case"  PP  Peso proprio Galleria Artificiale: GA 00  zona GA 00  Galleria Sezione corrente Singola Canna (106.628 25 2666.00 kN/m  (*)* Questo carico verrà direttamente considerato dal programma di calcolo (P.S. c.a.=25 kN/m3)  PPERM C  Carichi permanenti portati elementi di arredo in Copertura  Intera estenzione GA (in Copertura)  Impianto di illuminazione ed areazione (23.8x0.5)  23.8 0.5 11.90 kN/m  PERM C: Intera estenzione GA (in Copertura)  11.90 k  PERM F  Carichi permanenti portati elementi di arredo sezione stradale in Fondazione  Zona Fondazione GA escluso piedritti  Pavimentazione (9,75x3)  9,75 3 29.25 kN/m  Barriere laterali in c.a. (0.476x25)  11.90 kN/m  Rimitario, cassonetto stradale e tubazioni varie (11,9x1.5x20)  11.9 1.5 20 357.00 kN/m  Sommano  Area di assegnazione del carico	CALLEDIA ADTICIONE E ATTRAVEDRAMENTO 88876	A SINGOLA CA	NNA CC	N SE7	NONE PETTANGO	N ADE	
Descrizione azione: "Load Case"  PP  Peso proprio Galleria Artificiale: GA 00  Zona GA 00  Galleria Sezione corrente Singola Canna (106.628 25 2666.00 kN/m)  PP: zona GA 00 2666.00 k  (*) Questo carico verrà direttamente considerato dal programma di calcolo (P.S. c.a.=25 kN/m3)  PERM C  Carichi permanenti portati elementi di arredo in Copertura)  Impianto di illuminazione ed areazione (23.8 k0.5) 23.8 0.5 11.90 kN/m  PERM F  Carichi permanenti portati elementi di arredo sezione stradale in Fondazione  Zona Fondazione GA escluso piedritti  Pavimentazione (30.75 k2.5) 3 29.25 kN/m  Barriiera laterali in c.a. (0.476 25 11.90 kN/m  Rintero, cassonetto stradale e tubazioni varie (11.91 5.20) 357.00 kN/m  Sommano 398.15 kN/m  Area di assegnazione del carico					IONE RETTANGO	I	
PPSos proprio Galleria Artificiale: GA 00  zona GA 00 Galleria Sezione corrente Singola Canna (106.628/25) 106.628 25 2666.00 kN/m PP: zona GA 00 2666.00 k (*) Questo carico verrà direttamente considerato dal programma di calcolo (P.S. c.a.=25 kN/m3)  PERM C Carichi permanenti portati elementi di arredo in Copertura Intera estenzione GA (in Copertura) Impianto di illuminazione ed areazione (23.8/0.5) 23.8 0.5 11.90 kN/m PERM C: Intera estenzione GA (in Copertura)  Intera estenzione GA (in Copertura)  PERM F Carichi permanenti portati elementi di arredo sezione stradale in Fondazione  Zona Fondazione GA escluso piedritti Pavimentazione (9.75x3) 9.75 3 29.25 kN/m Barriere laterali in c.a. (0.476x25) 0.476 25 11.90 kN/m Rinterro, cassonetto stradale e tubazioni varie (11.9x1.5x20) 11.9 1.5 20 357.00 kN/m Sommano Area di assegnazione del carico	EGNOTICEE A GOINT ELEGGIVA OF ERRA A GINGGEA GARD	<u></u>	172.00 11				
PPSos proprio Galleria Artificiale: GA 00  zona GA 00 Galleria Sezione corrente Singola Canna (106.628/25) 106.628 25 2666.00 kN/m PP: zona GA 00 2666.00 k (*) Questo carico verrà direttamente considerato dal programma di calcolo (P.S. c.a.=25 kN/m3)  PERM C Carichi permanenti portati elementi di arredo in Copertura Intera estenzione GA (in Copertura) Impianto di illuminazione ed areazione (23.8/0.5) 23.8 0.5 11.90 kN/m PERM C: Intera estenzione GA (in Copertura)  Intera estenzione GA (in Copertura)  PERM F Carichi permanenti portati elementi di arredo sezione stradale in Fondazione  Zona Fondazione GA escluso piedritti Pavimentazione (9.75x3) 9.75 3 29.25 kN/m Barriere laterali in c.a. (0.476x25) 0.476 25 11.90 kN/m Rinterro, cassonetto stradale e tubazioni varie (11.9x1.5x20) 11.9 1.5 20 357.00 kN/m Sommano Area di assegnazione del carico							
Peso proprio Galleria Artificiale: GA 00  zona GA 00  Galleria Sezione corrente Singola Canna (106.628 25 2666.00 kN/m  (1) Questo carico verrà direttamente considerato dal programma di calcolo (P.S. c.a.=25 kN/m3)  PERM C  Carichi permanenti portati elementi di arredo in Copertura  Intera estenzione GA (in Copertura)  Impianto di illuminazione ed areazione (23.8v0.5)  23.8 0.5 11.90 kN/m  PERM C: Intera estenzione GA (in Copertura)  Intera estenzione  Intera es	Descrizione azione: "Load Case"						
Carichi permanenti portati elementi di arredo sezione stradale in Fondazione  Zona Fondazione  Zona Fondazione  (3.8x0.5)  Zona Fondazione  Zona Fondazione  (3.8x0.5)  Zona Fondazione  (3.8x0.5)  Zona Fondazione  Zona Fondazione  (3.8x0.5)  Zona Fondazione  Zona Fondazione  (3.8x0.5)  Zona Fondazione  Zona Fondazione  Zona Fondazione  (3.8x0.5)  Zona Fondazione  (3.8x0.5)  Zona Fondazione  Zona Fondazio	PP						
Galleria Sezione corrente Singola Canna (106.628x25) 106.628 25 2666.00 kN/m  PP: zona GA 00 2666.00 k  (*) Questo carico verrà direttamente considerato dal programma di calcolo (P.S. c.a.=25 kN/m3)  PERM C  Carichi permanenti portati elementi di arredo in Copertura Intera estenzione GA (in Copertura) Impianto di illuminazione ed areazione (23.8x0.5) 23.8 0.5 11.90 kN/m  PERM C: Intera estenzione GA (in Copertura)  11.90 k  PERM F  Carichi permanenti portati elementi di arredo sezione stradale in Fondazione  Zona Fondazione GA escluso piedritti Pavimentazione (9.75x.3) 9.75 3 29.25 kN/m  Barriere laterali in c.a. (0.476x25) 0.476 25 11.90 kN/m  Rinterro, cassonetto stradale e tubazioni varie (11.9x1.5x20) 11.9 1.5 20 357.00 kN/m  Sommano  Area di assegnazione del carico	Peso proprio Galleria Artificiale: GA 00						
(106.628x25) 106.628 25 2666.00 kN/m PP: zona GA 00 2666.00 k  (*) Questo carico verrà direttamente considerato dal programma di calcolo (P.S. c.a.=25 kN/m3)  PERM C  Carichi permanenti portati elementi di arredo in Copertura  Intera estenzione GA (in Copertura) Impianto di illuminazione ed areazione (23.8x0.5) 23.8 0.5 11.90 kN/m PERM C: Intera estenzione GA (in Copertura) 11.90 k  PERM F  Carichi permanenti portati elementi di arredo sezione stradale in Fondazione  Zona Fondazione GA escluso piedritti Pavimentazione (9.75x3) 9.75 3 29.25 kN/m Barriere laterali in c.a. (0.476x25) 0.476 25 11.90 kN/m Rintern, cassonetto stradale e tubazioni varie (11.9x1.5x20) 11.9 1.5 20 357.00 kN/m Sommano 398.15 kN/m  Area di assegnazione del carico	zona GA 00						
(*) Questo carico verrà direttamente considerato dal programma di calcolo (P.S. c.a.=25 kN/m3)  PERM C  Carichi permanenti portati elementi di arredo in Copertura  Intera estenzione GA (in Copertura) Impianto di illuminazione ed areazione (23.8x0.5)  23.8 0.5 11.90 kN/m  PERM C: Intera estenzione GA (in Copertura) 11.90 k  PERM F  Carichi permanenti portati elementi di arredo sezione stradale in Fondazione  Zona Fondazione GA escluso piedritti Pavimentazione (9.75x3)  9.75 3 29.25 kN/m  Barriere laterali in c.a. (0.476x25) 0.476 25 11.90 kN/m  Rinterno, cassonetto stradale e tubazioni varie (11.9x1.5x20) Sommano  Area di assegnazione del carico	Galleria Sezione corrente Singola Canna	100.000	0.5		0000 00 141/	DD 04 00	0000 00 141/
PERM C Carichi permanenti portati elementi di arredo in Copertura  Intera estenzione GA (in Copertura) Impianto di illuminazione ed areazione (23.8x0.5)  23.8 0.5 11.90 kN/m  PERM C: Intera estenzione GA (in Copertura) 11.90 k  PERM F Carichi permanenti portati elementi di arredo sezione stradale in Fondazione  Zona Fondazione GA escluso piedritti Pavimentazione (9.75x3) 9.75 3 29.25 kN/m Barriere laterali in c.a. (0.476x25) 0.476 25 11.90 kN/m Rinterro, cassonetto stradale e tubazioni varie (11.9x1.5x20) 11.9 1.5 20 357.00 kN/m Sommano Area di assegnazione del carico	(106.628x25)	106.628	25		2666.00 kN/m	PP: zona GA 00	2666.00 KN/m
Carichi permanenti portati elementi di arredo in Copertura  Intera estenzione GA (in Copertura) Impianto di illuminazione ed areazione (23.8x0.5)  23.8 0.5 11.90 kN/m PERM C: Intera estenzione GA (in Copertura) 11.90 k  PERM F  Carichi permanenti portati elementi di arredo sezione stradale in Fondazione  Zona Fondazione GA escluso piedritti Pavimentazione (9.75x3) 9.75 3 29.25 kN/m Barriere laterali in c.a. (0.476x25) 0.476 25 11.90 kN/m Rinterro, cassonetto stradale e tubazioni varie (11.9x1.5x20) 11.9 1.5 20 357.00 kN/m Sommano  Area di assegnazione del carico	(*) Questo carico verrà direttamente considerato dal pr	ogramma di ca	alcolo (P	.S. c.a	.=25 kN/m3)		
Copertura  Intera estenzione GA (in Copertura) Impianto di illuminazione ed areazione (23.8x0.5)  23.8 0.5 11.90 kN/m PERM C: Intera estenzione GA (in Copertura) 11.90 k  PERM F  Carichi permanenti portati elementi di arredo sezione stradale in Fondazione  Zona Fondazione GA escluso piedritti Pavimentazione (9.75x3) 9.75 3 29.25 kN/m Barriere laterali in c.a. (0.476x25) 0.476 25 11.90 kN/m Rinterro, cassonetto stradale e tubazioni varie (11.9x1.5x20) 11.9 1.5 20 357.00 kN/m Sommano  Area di assegnazione del carico	PERM C						
Impianto di illuminazione ed areazione   23.8	Carichi permanenti portati elementi di arredo in Copertura						
Impianto di illuminazione ed areazione   23.8	Intera estenzione GA (in Copertura)						
PERM F Carichi permanenti portati elementi di arredo sezione stradale in Fondazione  Zona Fondazione GA escluso piedritti Pavimentazione (9.75x3) 9.75 3 29.25 kN/m Barriere laterali in c.a. (0.476x25) 0.476 25 11.90 kN/m Rinterro, cassonetto stradale e tubazioni varie (11.9x1.5x20) 11.9 1.5 20 357.00 kN/m Sommano 398.15 kN/m  Area di assegnazione del carico	Impianto di illuminazione ed areazione						
Carichi permanenti portati elementi di arredo sezione stradale in Fondazione	(23.8x0.5)	23.8	0.5		11.90 kN/m	PERM C: Intera estenzione GA (in Copertura)	<b>11.90</b> kN/m
Zona Fondazione GA escluso piedritti Pavimentazione (9.75x3) 9.75 3 29.25 kN/m Barriere laterali in c.a. (0.476x25) 0.476 25 11.90 kN/m Rinterro, cassonetto stradale e tubazioni varie (11.9x1.5x20) 11.9 1.5 20 357.00 kN/m Sommano Area di assegnazione del carico	PERM F						
Zona Fondazione GA escluso piedritti Pavimentazione (9.75x3) 9.75 3 29.25 kN/m Barriere laterali in c.a. (0.476x25) 0.476 25 11.90 kN/m Rinterro, cassonetto stradale e tubazioni varie (11.9x1.5x20) 11.9 1.5 20 357.00 kN/m Sommano 398.15 kN/m  Area di assegnazione del carico	Carichi permanenti portati elementi di arredo sezione						
Pavimentazione (9.75x3) 9.75 3 29.25 kN/m Barriere laterali in c.a. (0.476x25) 0.476 25 11.90 kN/m Rinterro, cassonetto stradale e tubazioni varie (11.9x1.5x20) 11.9 1.5 20 357.00 kN/m Sommano 398.15 kN/m Area di assegnazione del carico	stradale in Fondazione						
Pavimentazione (9.75x3) 9.75 3 29.25 kN/m Barriere laterali in c.a. (0.476x25) 0.476 25 11.90 kN/m Rinterro, cassonetto stradale e tubazioni varie (11.9x1.5x20) 11.9 1.5 20 357.00 kN/m Sommano 398.15 kN/m Area di assegnazione del carico	Zona Fondazione GA escluso niedritti						
(9.75x3) 9.75 3 29.25 kN/m  Barriere laterali in c.a. (0.476x25) 0.476 25 11.90 kN/m  Rinterro, cassonetto stradale e tubazioni varie (11.9x1.5x20) 11.9 1.5 20 357.00 kN/m  Sommano 398.15 kN/m  Area di assegnazione del carico	Pavimentazione  Pavimentazione						
(0.476x25)	(9.75x3)	9.75	3		29.25 kN/m		
Rinterro, cassonetto stradale e tubazioni varie (11.9x1.5x20)	Barriere laterali in c.a.						
(11.9x1.5x20)		0.476	25		11.90 kN/m		
Sommano 398.15 kN/m  Area di assegnazione del carico		11.0	1 5	20	257.00 kN/m		
	Sommano	11.9	1.5	20			
	Area di gassanazione del agrico						
	(398.15/11.9)	398.15	11.9		33.46 kN/m	PERM F: Zona Fondazione GA escluso piedritti	<b>33.46</b> kN/m

#### Nella tabella seguente sono stati definiti i carichi gravitazionali della porzione a doppia canna

GALLE	RIA ARTIFI	CIALE A	TTRAV	ERSAMENTO SS6	75 (DOPPIA CANNA)
GALLERIA ARTIFICIALE ATTRAVERSAMENTO SS675 A D LUNGHEZZA COMPLESSIVA OPERA A DOPPIA CANNA		INA CON 52.15 n		ONE RETTANGOLA	ARE
Descrizione azione: "Load Case"					
PP					
Peso proprio Galleria Artificiale: GA 00					
zona GA 00 Galleria Sezione corrente Doppia Canna (53.27x25)	53.27	25		1332.00 kN/m	PP: zona GA 00 1332.00 kN/
(*) Questo carico verrà direttamente considerato dal progi			.S. c.a.		1332.00 KW
PERM C					
Carichi permanenti portati elementi di arredo in Copertura					
Zona Copertura GA escluso piedritti Impianto di illuminazione ed areazione (23.8x0.5)	23.8	0.5		11.90 kN/m	
Area di assegnazione del carico (11.9/23.8)	11.90	23.8		0.50 kN/m	PERM C: Zona Copertura GA escluso piedritti 0.50 kN/
PERM F					
Carichi permanenti portati elementi di arredo sezione stradale in Fondazione					
Zona Fondazione GA escluso piedritti Pavimentazione					
(19.5x3) Barriere laterali in c.a.	19.5	3		58.50 kN/m	
(0.952x25)	0.952	25		23.80 kN/m	
Rinterro, cassonetto stradale e tubazioni varie (23.8x1.5x20) Sommano	23.8	1.5	20	714.00 kN/m 796.30 kN/m	
Area di assegnazione del carico (796.3/23.8)	796.30	23.8		33.46 kN/m	PERM F: Zona Fondazione GA escluso piedritti 33.46 kN/

#### 1.2 Sovraccarichi variabili di esercizio

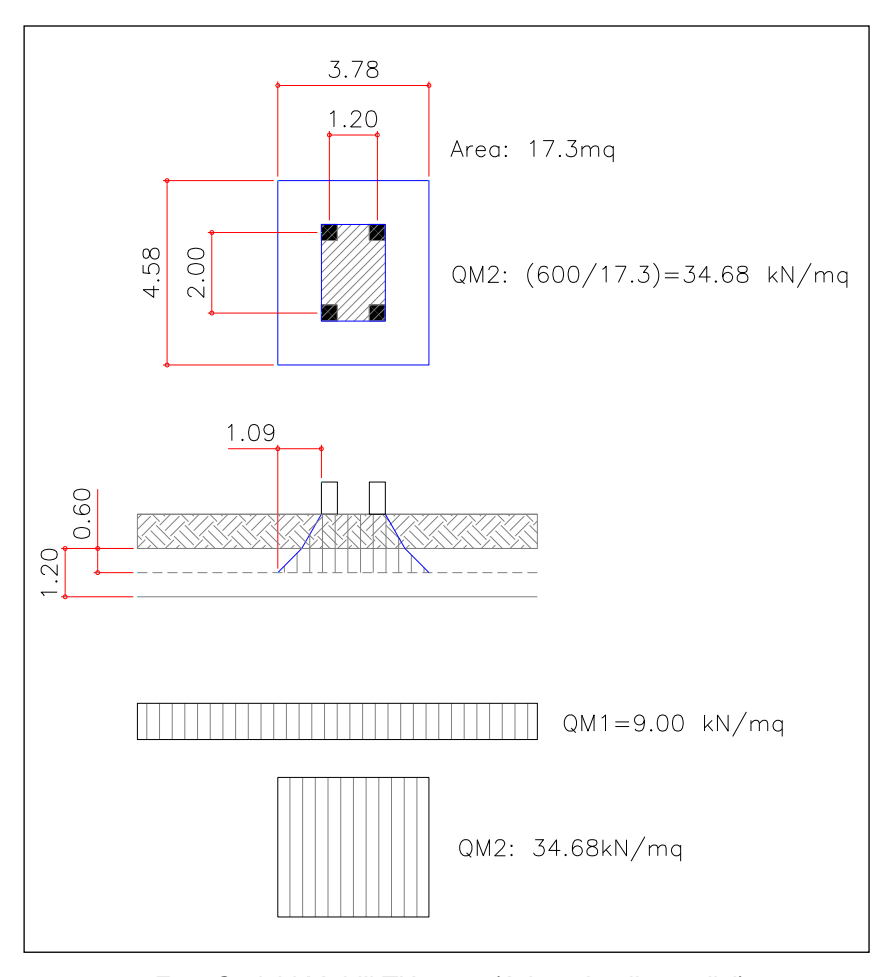
Schemi di carico previsti per la soletta superiore della G.A. ove interessata dalla sovrastante sede stradale: tre colonne di carichi mobili e un carico distribuito per l'area rimanente (DM 2018 § 5.1.3.3):



F 3. Schema carichi Mobili TU 2008 (Stralcio)

 una stesa 1 di carichi costituita da un automezzo aderente al cordolo Q<sub>1k</sub> di 600 kN dotato di 2 assi di 2 ruote ciascuno, distanziati di 1.20 m in senso longitudinale e con interasse ruote in senso trasversale di 2.00 m, più carichi q<sub>1k</sub> di 9 kN/mq distribuiti linearmente in asse al convoglio oltre l'ingombro di Q<sub>1k</sub>;

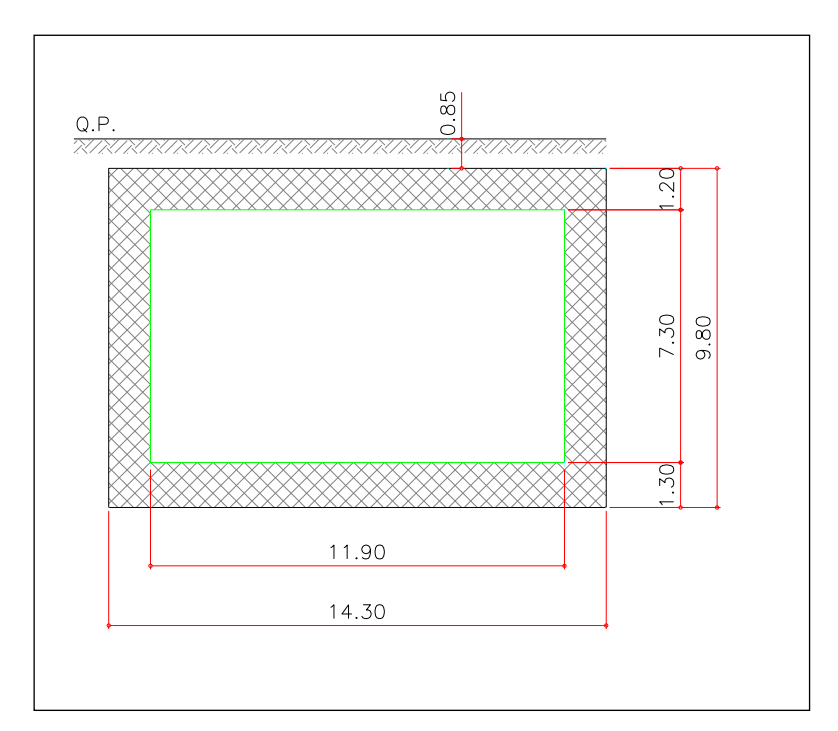
Nello schema seguente sono indicati i carichi mobili definiti per considerare il traffico stradale sulla soletta superiore dello scatolare. Il carico QM1 si considera presente sull'intera estensione della soletta superiore mentre il carico QM2 verrà posizionato nel modo più opportuno al fine di ottenere le più gravose sollecitazioni di calcolo.



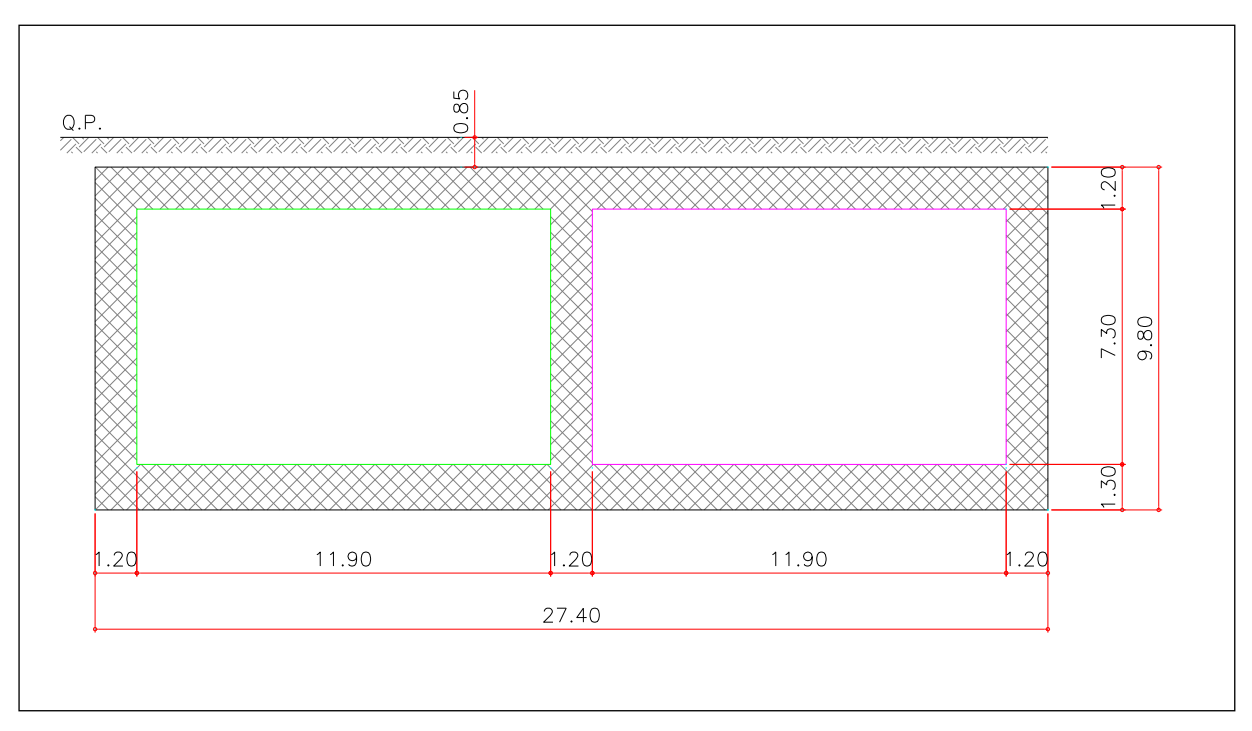
F 4. Carichi Mobili TU 2008 (Adottati nelle analisi)

#### 1.2.1 Schemi strutture

Schemi delle strutture considerati nelle analisi dei carichi.



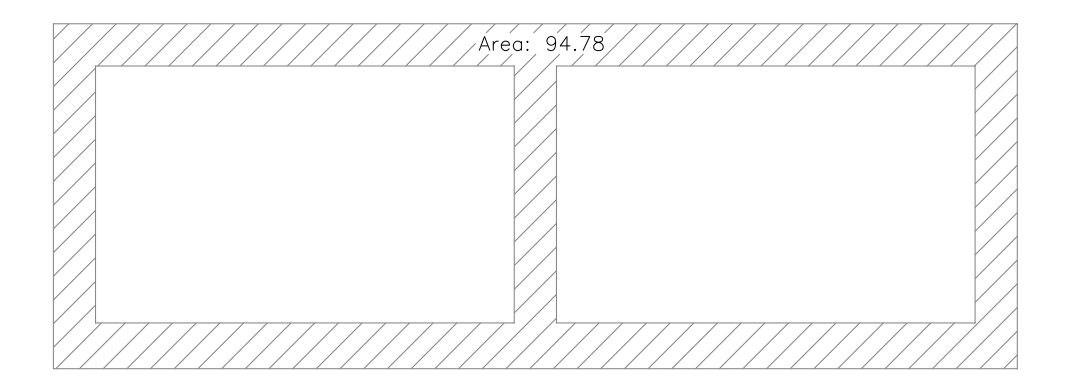
F 5. Schema strutture singola canna



F 6. Schema strutture doppia canna



F 7. Schema Area sezione trasversale singola canna



F 8. Schema Area sezione trasversale doppia canna

#### 1.3 Azione Sismica

Per la determinazione dell'azione sismica è stata adottato il seguente testo "Nuove norme tecniche per le costruzioni 17-01-18".

Per la determinazione dell'azione sismica dell'opera in esame sono state considerate le seguenti coordinate di riferimento: longitudine 11.9297 – latitudine 42.284..

I parametri utilizzati per la definizione dell'azione sismica sono:

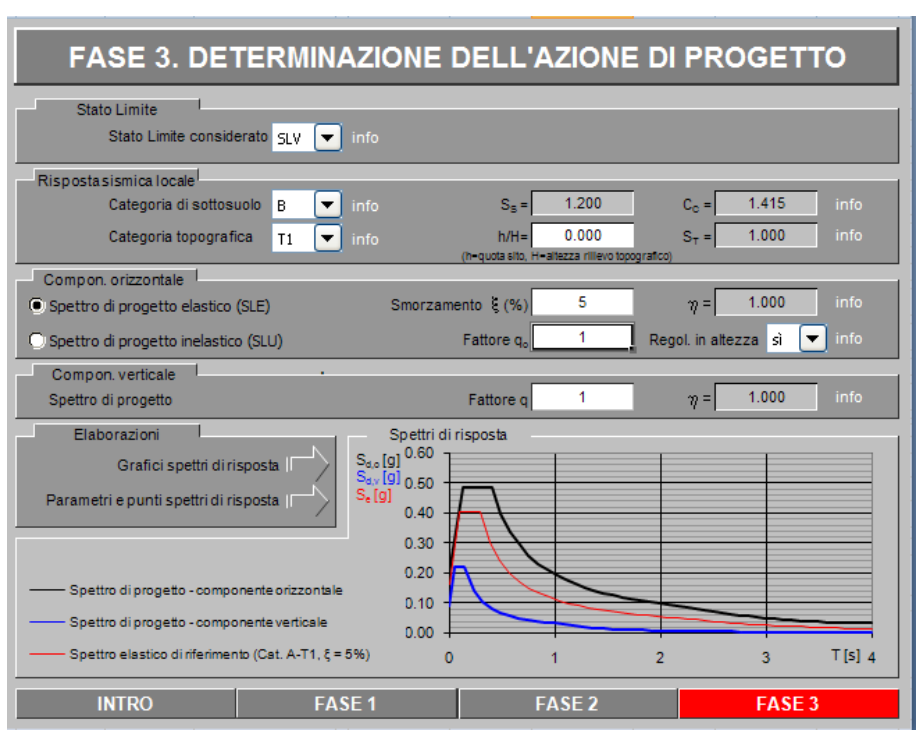
- Vita nominale (50 anni)
- Classe d'uso IV (Cu=2.0)
- Categoria di suolo → (B)
- F0 = 2.462
- Tc\*=0.284
- Categoria di suolo: B
- Categoria Topografica T1 (S<sub>T</sub> = 1.00)
- Coefficiente di riduzione Bm =0.24
- Sisma verticale/sisma orizzontale =0.50



F 9. Individuazione della pericolosità del sito



F 10. Strategia di progettazione



F 11. Determinazione azione sismica di progetto

#### 1.4 Combinazione delle azioni

La struttura della galleria artificiale è stata verificata per le condizioni di carico riportate nel DM 2018 sia nei riguardi degli stati limite ultimi che nei riguardi degli stati limite di esercizio, mediante il metodo dei coefficienti parziali di sicurezza sulle azioni e sulle resistenze (§ 6.2.3). Le combinazioni di calcolo adottate sono schematizzate nelle seguenti tabelle:

			AZIONI γF				' TERREI	Νο γΜ	RESIS	TEN	IZE γR
SLU	CASO	PERMAN	NENTI	VARIA	BILI		,			_	17
		SFAV.	FAV.	SFAV.	FAV.	tanΦ'	c'	Cu	qΒ	٥	Кр
A1+M1	1	1.3	1	1.5	0	1	1	1	1	1	1
SISMICA	2	1	1	1	1	1	1	1	1	1	1

		AZIONI γF				PROPRIETA	' TERREI	Νγ ΟΙ	RESIS	TEN	IZE γR
SLE	CASO	PERMAN	NENTI	VARIA	BILI			•	_	_	17
		SFAV.	FAV.	SFAV.	FAV.	tanΦ'	C'	Cu	qB	٥	Кр
A1+M1	1	1	1	1	0	1	1	1	1	1	1

#### 5 VERIFICA DEGLI ELEMENTI IN CALCESTRUZZO ARMATO

Le verifiche degli elementi in calcestruzzo armato sono condotte in accordo con DM 17/01/2018. Di seguito è brevemente indicata la metodologia seguita.

#### 1.5 SLU - Presso-flessione

Analogamente al caso di sezione mista acciaio-calcestruzzo soggetta a forza normale e flessione retta, la verifica si effettua operando nel piano N-M: basta accertare che il punto avente le coordinate Md, Nd rappresentative degli effetti delle azioni di calcolo (cioè delle azioni di servizio moltiplicate per i correlativi coefficienti parziali di sicurezza  $\gamma_e$ ), appartenga al dominio resistente, delimitato dalla curva di interazione M-N. Sono state verificate le sezioni in cemento armato relative al rivestimento definitivo.

In questo caso viene adottato un procedimento rigoroso, basato sulle ipotesi seguenti (DM2018 4.1.2.1.2):

- 1 diagramma σ-ε del calcestruzzo compresso a forma di parabola-rettangolo;
- 2 diagramma σ-ε dell'acciaio, sia teso che compresso, elastico-perfettamente plastico:
- 2.1 conservazione delle tensioni piane;
- 2.2 perfetta aderenza fra acciaio e calcestruzzo;
- 2.3 calcestruzzo teso non reagente.

La determinazione della capacità resistente a flessione/pressoflessione della generica sezione viene effettuata con i criteri descritti nelle specifiche sezioni delle NTC18, secondo quanto riportato schematicamente nelle figure seguito, tenendo conto dei valori delle resistenze e deformazioni di calcolo riportate al paragrafo dedicato alle caratteristiche dei materiali:

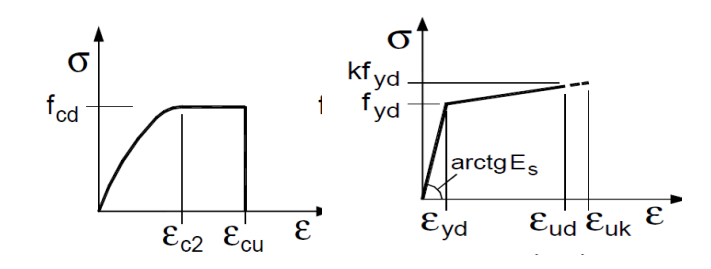
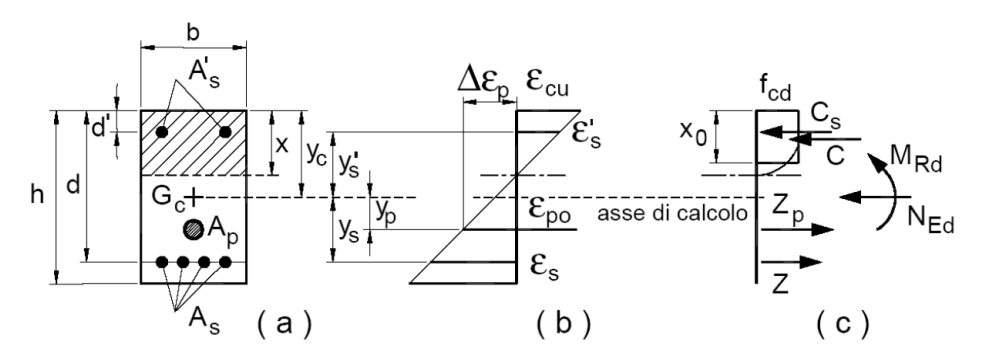


Figura 1 – Legami costitutivi Calcestruzzo ed Acciaio



Sono stati calcolati i momenti resistenti di progetto (momenti ultimi) corrispondenti al valore assegnato dell'azione assiale sollecitante di progetto Nsd. È stato verificato che il valore di Nsd non risulti maggiore del valore ultimo per compressione o trazione semplice. I momenti sono calcolati rispetto al baricentro della sezione.

Il momento resistente viene determinato dopo aver calcolato la curvatura che, in condizioni di deformazione limite del calcestruzzo o dell'acciaio, soddisfa l'equilibrio alla traslazione.

Sono stati ricavati i punti di dominio M-N della sezione, evidenziando la posizione del punto NSd-MSd rappresentativo dello stato di sollecitazione. Si assumono come positive le compressioni.

## 1.6 SLU - Taglio

È stata eseguita, inoltre, la verifica nei confronti delle sollecitazioni taglianti della sezione in calcestruzzo armato dotata di specifica armatura a taglio (DM2018 – 4.1.2.3.5.2).

La resistenza a taglio VRd della membratura priva di armatura specifica risulta pari a:

$$V_{Rd} = \left\{ 0.18 \cdot k \cdot \frac{\left(100 \cdot \rho_1 \cdot f_{ck}\right)^{1/3}}{\gamma_c + 0.15 \cdot \sigma_{cp}} \right\} \cdot b_w \cdot d \ge v_{min} + 0.15 \cdot \sigma_{cp} \cdot b_w d$$

Dove:

$$v_{\min} = 0.035 \cdot k^{3/2} \cdot f_{ck}^{1/2}$$
;

$$k = 1 + (200/d)^{1/2} \le 2$$

$$\rho_1 = A_{sw}/(b_w * d)$$

d = altezza utile per piedritti soletta superiore e inferiore;

b<sub>w</sub>= 1000 mm larghezza utile della sezione ai fini del taglio.

In presenza di armatura, invece, la resistenza a taglio  $V_{Rd}$  è il minimo tra la resistenza a taglio trazione  $V_{Rsd}$  e la resistenza a taglio compressione  $V_{Rcd}$ 

$$V_{Rsd} = 0.9 \cdot d \cdot \frac{A_{sw}}{s} \cdot f_{yd} \cdot (ctg\alpha + ctg\theta) \cdot \sin\alpha$$

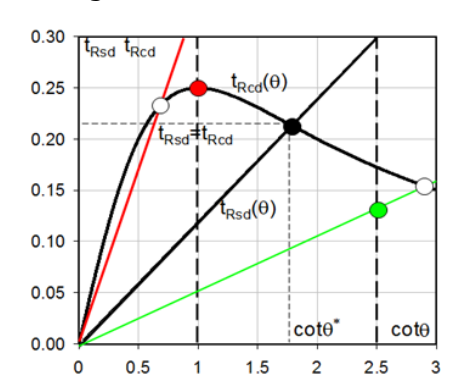
$$V_{Rcd} = 0.9 \cdot d \cdot b_{W} \cdot \alpha_{c} \cdot f_{cd} \cdot \frac{\left(ctg\alpha + ctg\theta\right)}{\left(1 + ctg^{2}\theta\right)}$$

#### Essendo:

$$1 \le ctg \ \theta \le 2.5$$

Per quanto riguarda in particolare le verifiche a taglio per elementi armati a taglio, si è fatto riferimento al metodo del traliccio ad inclinazione variabile, in accordo a quanto prescritto nelle NTC18, considerando ai fini delle verifiche, un angolo  $\theta$  di inclinazione delle bielle compresse del traliccio resistente tale da rispettare la condizione.

$$1 \le \text{ctg } \theta \le 2.5$$
  $45^{\circ} \ge \theta \ge 21.8^{\circ}$ 



- Se la cotθ\* è compresa nell'intervallo (1,0-2,5) è possibile valutare il taglic resistente V<sub>Rd</sub>(=V<sub>Rod</sub>=V<sub>Rsd</sub>)
- Se la  $\cot\theta^*$  è maggiore di 2.5 la crisi è da attribuirsi all'armatura trasversale e il taglio resistente  $V_{Rd}(=V_{Rsd})$  coincide con il massimo taglio sopportato dalle armature trasversali valutabile per una  $\cot\theta=2.5$ .
- Se la cotθ\* è minore di 1.0 la crisi è da attribuirsi alle bielle compresse e l'aglio resistente V<sub>Rd</sub> (=V<sub>Rcd</sub>) coincide con il massimo taglio sopportato dalle bielle di calcestruzzo valutabile per una cotθ=1,0.

L'angolo effettivo di inclinazione delle bielle ( $\theta$ ) assunto nelle verifiche è stato in particolare valutato, nell'ambito di un problema di verifica, tenendo conto di quanto di seguito indicato:

$$\cot \theta^* = \sqrt{\frac{v \cdot \alpha_c}{\omega_{cc}} - 1}$$

 $(\theta^*$  angolo di inclinazione delle bielle cui corrisponde la crisi contemporanea di bielle compresse ed armature)

#### Dove:

$$v = f'cd / fcd = 0.5$$

f 'cd = resistenza a compressione ridotta del calcestruzzo d'anima

f cd = resistenza a compressione di calcolo del calcestruzzo d'anima

 $\omega_{\text{sw}}$  : Percentuale meccanica di armatura trasversale.

$$\omega_{sw} = \frac{A_{sw} f_{yd}}{b \, s \, f_{cd}}$$

#### 1.7 SLE – Tensioni ammissibili

Successivamente sono state effettuate delle verifiche agli Stati Limite di Esercizio, che consistono in una limitazione delle tensioni di esercizio, e verifiche agli Stati Limite di Fessurazione (limitazione delle ampiezze massime delle aperture) DM2018 4.1.2.2.4 – 4.1.2.2.5.

In particolare:

3	$\sigma$ cls < 0.45 fck	tensione nel calcestruzzo (comb. frequente)
4	$\sigma$ cls < 0.60 fck	tensione nel calcestruzzo (comb. rara)
5	$\sigma s < 0.80 \text{ fck}$	tensione nell'acciaio di armatura
6	wk < 0.20 mm	apertura delle fessure nel cls.

#### 1.8 SLE – Verifica apertura delle fessure

Per il calcolo dell'apertura delle fessure si procede in questo modo:

7 
$$w_k = 1.7 s_{rm} \varepsilon_{sm}$$
 ampiezza delle fessure

dove:

- 8 wk è l'ampiezza di calcolo delle fessure;
- 9 srm è la distanza media finale tra le fessure;
- 10 εsm è la deformazione media che tiene conto, nella combinazione di carico considerata, degli effetti di "tension stiffening", del ritiro ecc.;

#### 1.9 Armatura minima

Le armature minime e massime da disporre nelle sezioni sono definiti tramite le seguenti espressioni in accordo alle NTC 17/01/2018:

Tabella 1: Limiti di armatura a flessione per la sezione in c.a

Vincolo	Formulazione
A <sub>sl,min_1</sub>	$0.26 \cdot (f_{ctm}/f_{yk}) \cdot b \cdot d$
A <sub>sl,min_2</sub>	0.0013·b·d
A <sub>sl,max</sub>	0.0400·b·h

Tabella 2: Limiti di armatura a taglio per la sezione in c.a

Vincolo	Formulazione
A <sub>sw,min</sub> [mm <sup>2</sup> /m]	1.5⋅b <sub>w</sub>
s <sub>max</sub> [mm]	max(0.80·d; 1000/3)

#### **6 METODI DI ANALISI**

#### 1.10 Pressione Geostatica

In questo caso la pressione in calotta viene calcolata come prodotto tra il peso di volume del terreno per l'altezza del ricoprimento (Spessore dello strato di terreno superiore). Quindi la pressione in calotta è fornita dalla seguente relazione:

$$P_v = \gamma H$$

Se sul profilo del piano campagna sono presenti dei sovraccarichi, concentrati e/o distribuiti, la diffusione di questi nel terreno avviene secondo un angolo, rispetto alla verticale, pari a 45.00°.

## 1.11 Spinta attiva - Metodo di Coulomb

La teoria di Coulomb considera l'ipotesi di un cuneo di spinta a monte della parete che si muove rigidamente lungo una superficie di rottura rettilinea. Dall'equilibrio del cuneo si ricava la spinta che il terreno esercita sull'opera di sostegno. In particolare Coulomb ammette, al contrario della teoria di Rankine, l'esistenza di attrito fra il terreno e la parete, e quindi la retta di spinta risulta inclinata rispetto alla normale alla parete stesso di un angolo di attrito terra-parete.

L'espressione della spinta esercitata da un terrapieno, di peso di volume · , su una parete di altezza H, risulta espressa secondo la teoria di Coulomb dalla seguente relazione (per terreno incoerente)

$$S = 1/2\gamma H^2 K_a$$

K<sub>a</sub> rappresenta il coefficiente di spinta attiva di Coulomb nella versione riveduta da Muller-Breslau, espresso come

$$\mathsf{K}_{\mathsf{a}} = \frac{\sin(\alpha + \phi)}{\sqrt{\left[\sin(\phi + \delta)\sin(\phi - \beta)\right]}}$$
 
$$\sin^2\!\alpha\,\sin(\alpha - \delta)\left[1 + \frac{\sqrt{\left[\sin(\alpha - \delta)\sin(\alpha + \beta)\right]}}{\sqrt{\left[\sin(\alpha - \delta)\sin(\alpha + \beta)\right]}}\right]^2}$$

dove  $\phi$  è l'angolo d'attrito del terreno,  $\alpha$  rappresenta l'angolo che la parete forma con l'orizzontale ( $\alpha$  = 90° per parete verticale),  $\delta$  è l'angolo d'attrito terreno-parete,  $\beta$  è l'inclinazione del terrapieno rispetto all'orizzontale.

La spinta risulta inclinata dell'angolo d'attrito terreno-parete  $\delta$  rispetto alla normale alla parete. Il diagramma delle pressioni del terreno sulla parete risulta triangolare con il vertice in alto. Il punto

di applicazione della spinta si trova in corrispondenza del baricentro del diagramma delle pressioni (1/3 H rispetto alla base della parete). L'espressione di K a perde di significato per  $\beta > \phi$ . Questo coincide con quanto si intuisce fisicamente: la pendenza del terreno a monte della parete non può superare l'angolo di natural declivio del terreno stesso.

Nel caso di terreno dotato di attrito e coesione c l'espressione della pressione del terreno ad una generica profondità z vale

$$\sigma_a = \gamma z K_a - 2 c \sqrt{K_a}$$

#### 1.12 Spinta in presenza di falda

Nel caso in cui a monte della parete sia presente la falda il diagramma delle pressioni sulla parete risulta modificato a causa della sottospinta che l'acqua esercita sul terreno. Il peso di volume del terreno al di sopra della linea di falda non subisce variazioni. Viceversa al di sotto del livello di falda va considerato il peso di volume di galleggiamento

$$\gamma_a = \gamma_{sat} - \gamma_w$$

dove  $\gamma_{sat}$  è il peso di volume saturo del terreno (dipendente dall'indice dei pori) e  $\gamma_w$  è il peso di volume dell'acqua. Quindi il diagramma delle pressioni al di sotto della linea di falda ha una pendenza minore. Al diagramma così ottenuto va sommato il diagramma triangolare legato alla pressione idrostatica esercitata dall'acqua.

#### 1.13 Spinta a Riposo

Si assume che sui piedritti agisca la spinta calcolata in condizioni di riposo. Il coefficiente di spinta a riposo è espresso dalla relazione

$$K_0 = 1 - \sin \phi$$

dove  $\phi$  rappresenta l'angolo d'attrito interno del terreno di rinfianco.

Quindi la pressione laterale, ad una generica profondità z e la spinta totale sulla parete di altezza H valgono

$$\sigma = \gamma z K_0 + p_v K_0$$

$$S = 1/2 \gamma H^2 K_0 + p_v K_0 H$$

dove pv è la pressione verticale agente in corrispondenza della calotta.

#### 1.14 Spinta in presenza di sisma - Formula di Wood

Essendo la galleria una struttura rigida, l'approccio progettuale implementato nell'analisi strutturale si basa sulla teoria di Wood, 1973 (EC8, Annex E) e consiste nell'applicare alla struttura un carico orizzontale pseudo-statico uniformemente distribuito al fine di modellare l'aumento del carico indotto dall'azione sismica.

La pressione sismica orizzontale  $\Delta p_d$  è calcolata come:

$$\Delta p_d = \frac{a_g}{g} \cdot S \cdot \gamma \cdot H$$

Dove:

- 11  $\frac{a_g}{g}$  è l'accelerazione di picco scalata alla profondità del tunnel
- 12  $\gamma$  peso dell'unità di volume della roccia
- 13 Haltezza del muro/tunnel

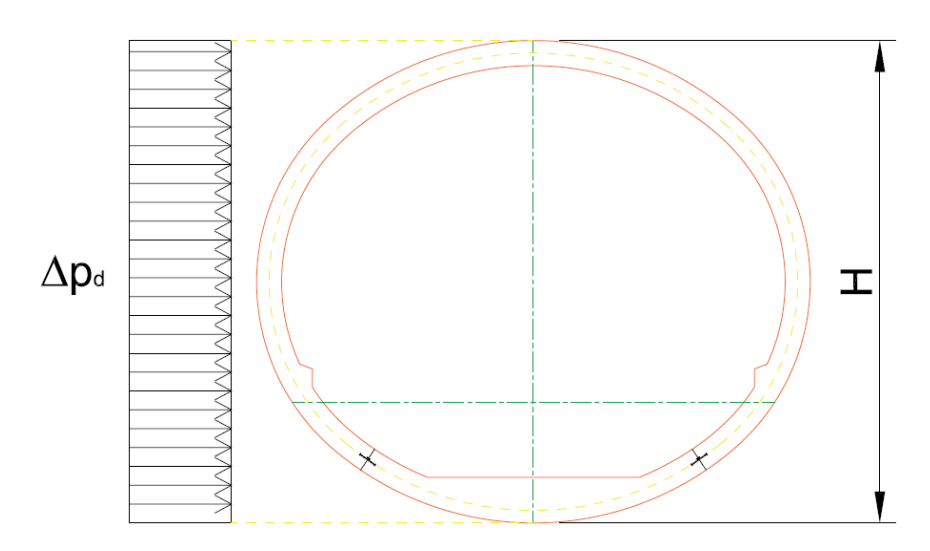


Figura 2 Applicazione della pressione pseudo-statica in accordo con Wood, 1973

A questo punto è necessario calcolare l'effetto sismico rispetto alla profondità della galleria. Secondo Hashash et al. 2001, il coefficiente C è definito come:

Tunnel depth (m)	Ratio of ground motion at tunnel depth to motion at ground surface
≤ 6	1.0
6-15	0.9
15-30	0.8
> 30	0.7

$$a_{z,\max} = C \cdot a_{\max,s}$$

#### 1.15 Strategia di soluzione

A partire dal tipo di terreno, dalla geometria e dai sovraccarichi agenti il programma è in grado di conoscere tutti i carichi agenti sulla struttura per ogni combinazione di carico.

La struttura scatolare viene schematizzata come un telaio piano e viene risolta mediante il metodo degli elementi finiti (FEM). Più dettagliatamente il telaio viene discretizzato in una serie di elementi connessi fra di loro nei nodi.

Il terreno di rinfianco e di fondazione viene invece schematizzato con una serie di elementi molle non reagenti a trazione (modello di Winkler). L'area della singola molla è direttamente proporzionale alla costante di Winkler del terreno e all'area di influenza della molla stessa.

A partire dalla matrice di rigidezza del singolo elemento, Ke, si assembla la matrice di rigidezza di tutta la struttura K. Tutti i carichi agenti sulla struttura vengono trasformati in carichi nodali(reazioni di incastro perfetto) ed inseriti nel vettore dei carichi nodali p.

Indicando con u il vettore degli spostamenti nodali (incogniti), la relazione risolutiva può essere scritta nella forma

$$Ku = p$$

Da questa equazione matriciale si ricavano gli spostamenti incogniti u

$$u = K-1 p$$

Noti gli spostamenti nodali è possibile risalire alle sollecitazioni nei vari elementi.

#### S.S. 675 "UMBRO-LAZIALE"

Sistema infrastrutturale del collegamento del porto di Civitavecchia con il nodo intermodale di Orte - Tratta Monte Romano est – Civitavecchia – 1° stralcio Monte Romano est – Tarquinia

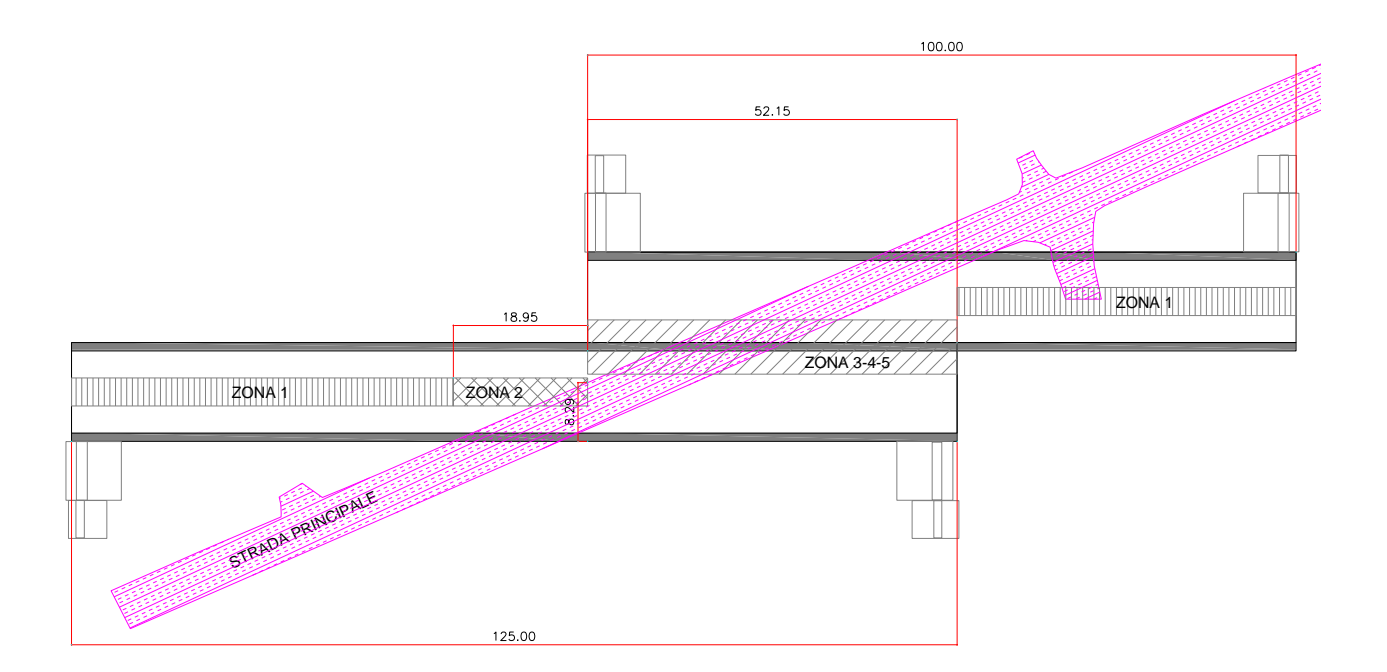
Progetto Definitivo

La soluzione del sistema viene fatta per ogni combinazione di carico agente sullo scatolare. Il successivo calcolo delle armature nei vari elementi viene condotto tenendo conto delle condizioni più gravose che si possono verificare nelle sezioni fra tutte le combinazioni di carico.

#### 7 GENERALITA' ANALISI NUMERICA

Dopo aver esaminato le diverse configurazioni di progetto sono stati definiti i seguenti schemi di calcolo in grado di contemplare le diverse situazioni possibili:

- ZONA 1) G.A. singola canna priva di sovrastante strada principale (HR=0.85m).
- ZONA 2) G.A. singola canna con sovrastante strada principale solo zona laterale (HR=0.85m).
- ZONA 3) G.A. doppia canna con sovrastante strada principale e carico QM2 al centro di una campata.
- ZONA 4) G.A. doppia canna con sovrastante strada principale e carico QM2 sul piedritto centrale.
- ZONA 5) G.A. doppia canna con sovrastante strada principale e carico QM2 adiacente piedritto laterale.

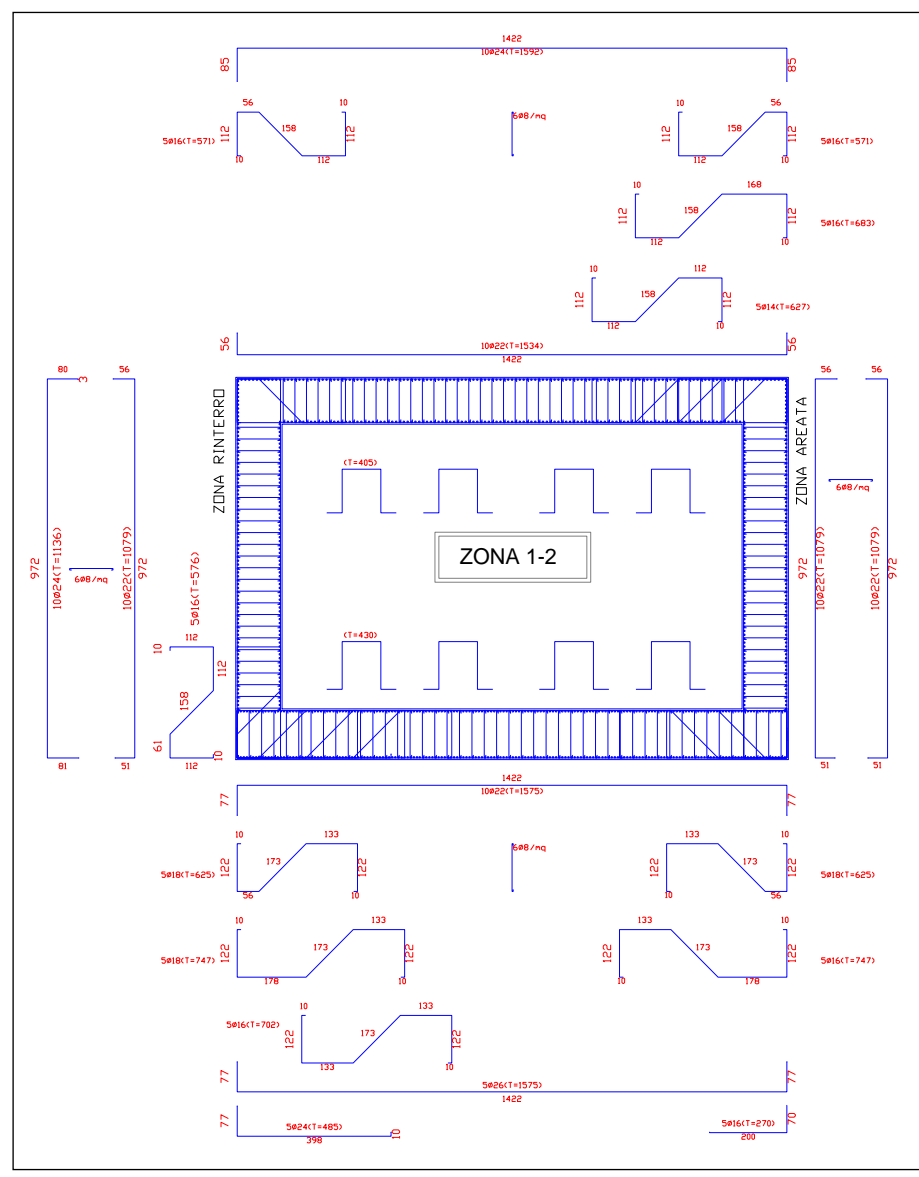


Ove non si considera la sovrastante presenza di sede stradale si considererà comunque un carico variabile di esercizio di 20.00kN/m² in modo da contemplare la possibile presenza di viabilità locale.

## 8 ANALISI NUMERICHE SINGOLA CANNA (ZONA 1)

#### 1.16 Descrizione analisi numerica e risultati

In questo caso gli schemi di carico <u>non prevedono</u> oltre al peso proprio dello scatolare, la sovrastante presenza della strada principale; pertanto, le azioni gravitazionali agenti sulla soletta di copertura saranno dovute: (i) ai carichi permanenti del rinterro e degli impianti di illuminazione ed areazione; (ii) ai carichi variabili previsti pari a 20.00 kN/m² compatibili con quelli di una viabilità locale.



F 12. Schema Armature di Progetto ZONA 1, ZONA 2

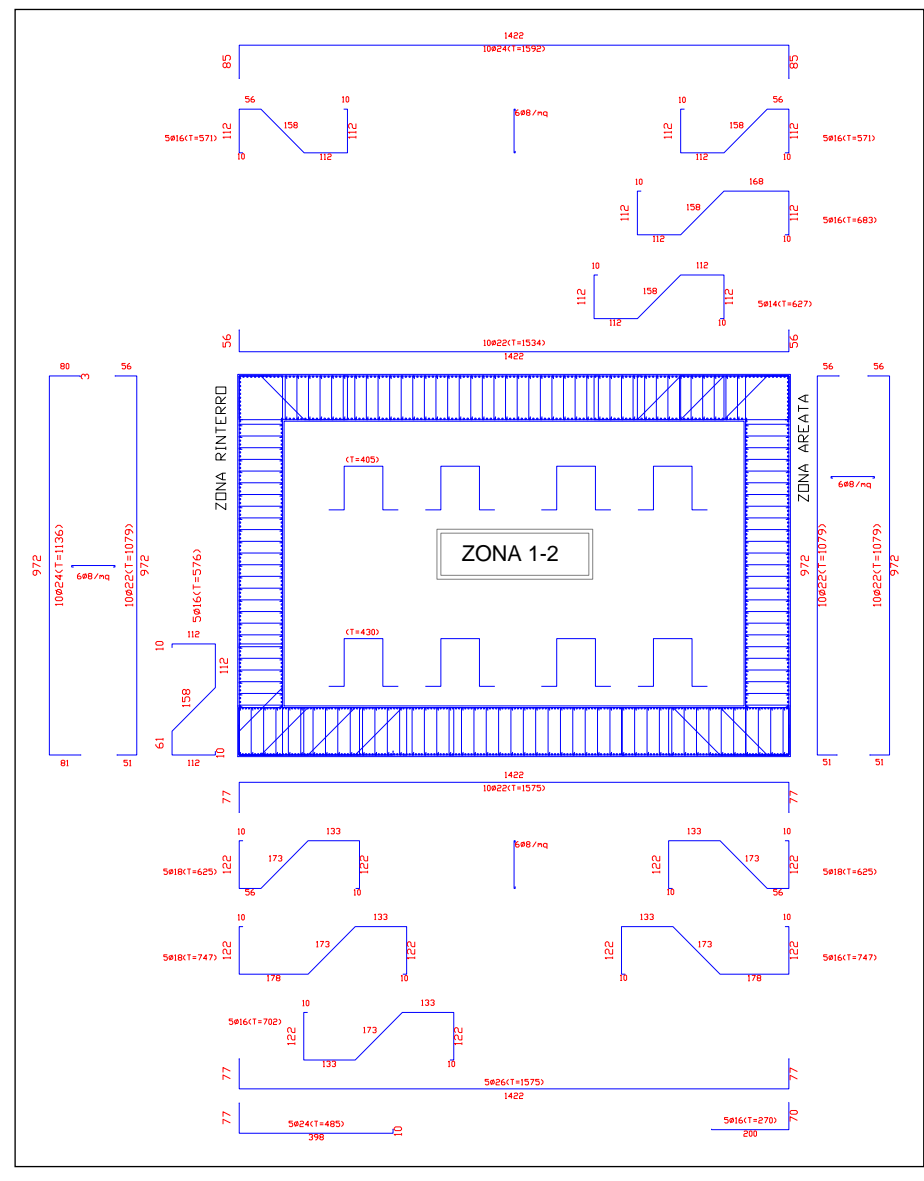
## 1.18 Inviluppo sollecitazioni nodali

Inviluppo	sollecitazioni fondazion	<u>e</u>				
<b>X [m]</b> 0.60	M <sub>min</sub> [kNm] -1888.25	M <sub>max</sub> [kNm] -1124.64	V <sub>min</sub> [kN] -832.09	V <sub>max</sub> [kN] -463.74	N <sub>min</sub> [kN] 192.73	N <sub>max</sub> [kN] 262.73
3.88	-213.44	77.55	-397.13	-239.15	192.73	262.73
7.15	607.07	1031.92	-207.11	-112.55	190.13	262.73
10.42	784.07	1389.59	-3.88	61.99	185.09	262.73
13.70	-106.29	218.86	568.73	973.37	180.02	262.73
Inviluppo	sollecitazioni traverso					
X [m]	M <sub>min</sub> [kNm]	M <sub>max</sub> [kNm]	V <sub>min</sub> [kN]	V <sub>max</sub> [kN]	N <sub>min</sub> [kN]	N <sub>max</sub> [kN]
0.60	-365.05	22.49	221.92	515.27	94.27	165.08
3.78	399.76	799.90	78.06	223.31	91.74	165.08
7.15	504.94	1041.31	-80.11	-39.44	86.94	165.08
10.52	-5.33	259.68	-383.53	-192.37	82.13	165.08
13.70	-1413.72	-706.60	-669.11	-336.23	77.60	165.08
Inviluppo	sollecitazioni piedritto s	<u>inistro</u>				
<b>Y [m]</b> 0.65		<sub>ax</sub> [kNm] 1124.64	V <sub>min</sub> [kN] 457.06	V <sub>max</sub> [kN] 704.73	N <sub>min</sub> [kN] 467.37	N <sub>max</sub> [kN] 842.28
4.93	-1000.25	52.44	74.04	704.73 141.61	344.64	678.78
9.20	-365.05	22.49	-165.08	-94.27	221.92	515.27
9.20	-303.03	22.49	-103.00	-94.27	221.92	313.27
Inviluppo	sollecitazioni piedritto d	<u>estro</u>				
Y [m]		ax [kNm]	V <sub>min</sub> [kN]	V <sub>max</sub> [kN]	N <sub>min</sub> [kN]	N <sub>max</sub> [kN]
0.65	-106.29	218.86	65.42	165.08	581.68	996.11
4.93	-708.00	-378.58	71.51	165.08	458.96	832.61
9.20	-1413.72	-706.60	77.60	165.08	336.23	669.11

## 9 ANALISI NUMERICHE SINGOLA CANNA (ZONA 2)

#### 1.19 Descrizione analisi numerica

In questo caso gli schemi di carico prevedono oltre al peso proprio dello scatolare, la sovrastante presenza della strada principale, pertanto le azioni gravitazionali agenti sulla soletta di copertura saranno dovute: (i) ai carichi permanenti del rinterro e degli impianti di illuminazione ed areazione; (ii) ai carichi variabili QM1 sull'intero trasverso pari a 9.00 kN/mq e QM2 nella posizione più gravosa compatibilmente con la posizione di impronta della strada principale sulla soletta di copertura dello scatolare.



F 13. Schema Armature di Progetto ZONA 2, ZONA 1

## 1.21 Inviluppo sollecitazioni

#### Inviluppo sollecitazioni fondazione

X [m]	M <sub>min</sub> [kNm]	M <sub>max</sub> [kNm]	V <sub>min</sub> [kN]	V <sub>max</sub> [kN]	N <sub>min</sub> [kN]	N <sub>max</sub> [kN]
0.60	-1877.03	-1126.83	-838.98	-466.67	191.30	253.65
3.88	-210.23	81.94	-393.60	-239.81	191.30	253.65
7.15	611.16	1031.37	-203.20	-112.54	189.86	253.65
10.42	787.28	1384.91	-3.70	62.17	184.81	253.65
13.70	-108.49	220.63	571.66	955.90	179.74	253.65

#### Inviluppo sollecitazioni traverso

X [m]	M <sub>min</sub> [kNm]	M <sub>max</sub> [kNm]	V <sub>min</sub> [kN]	V <sub>max</sub> [kN]	N <sub>min</sub> [kN]	N <sub>max</sub> [kN]
0.60	-433.52	17.91	224.89	522.40	95.73	174.40
3.93	419.47	875.58	72.98	269.99	91.81	174.40
7.15	511.00	1178.92	-106.71	-39.44	87.21	174.40
10.41	24.03	278.49	-407.77	-188.77	82.57	174.40
13.70	-1466.94	-711.18	-651.39	-339.21	77.88	174.40

#### Inviluppo sollecitazioni piedritto sinistro

Y [m]	M <sub>min</sub> [kNm]	M <sub>max</sub> [kNm]	V <sub>min</sub> [kN]	V <sub>max</sub> [kN]	N <sub>min</sub> [kN]	N <sub>max</sub> [kN]
0.65	-1877.03	-1126.83	456.78	695.41	470.35	849.41
4.93	-225.66	49.05	73.76	140.15	347.62	685.90
9.20	-433.52	17.91	-174.40	-95.73	224.89	522.40

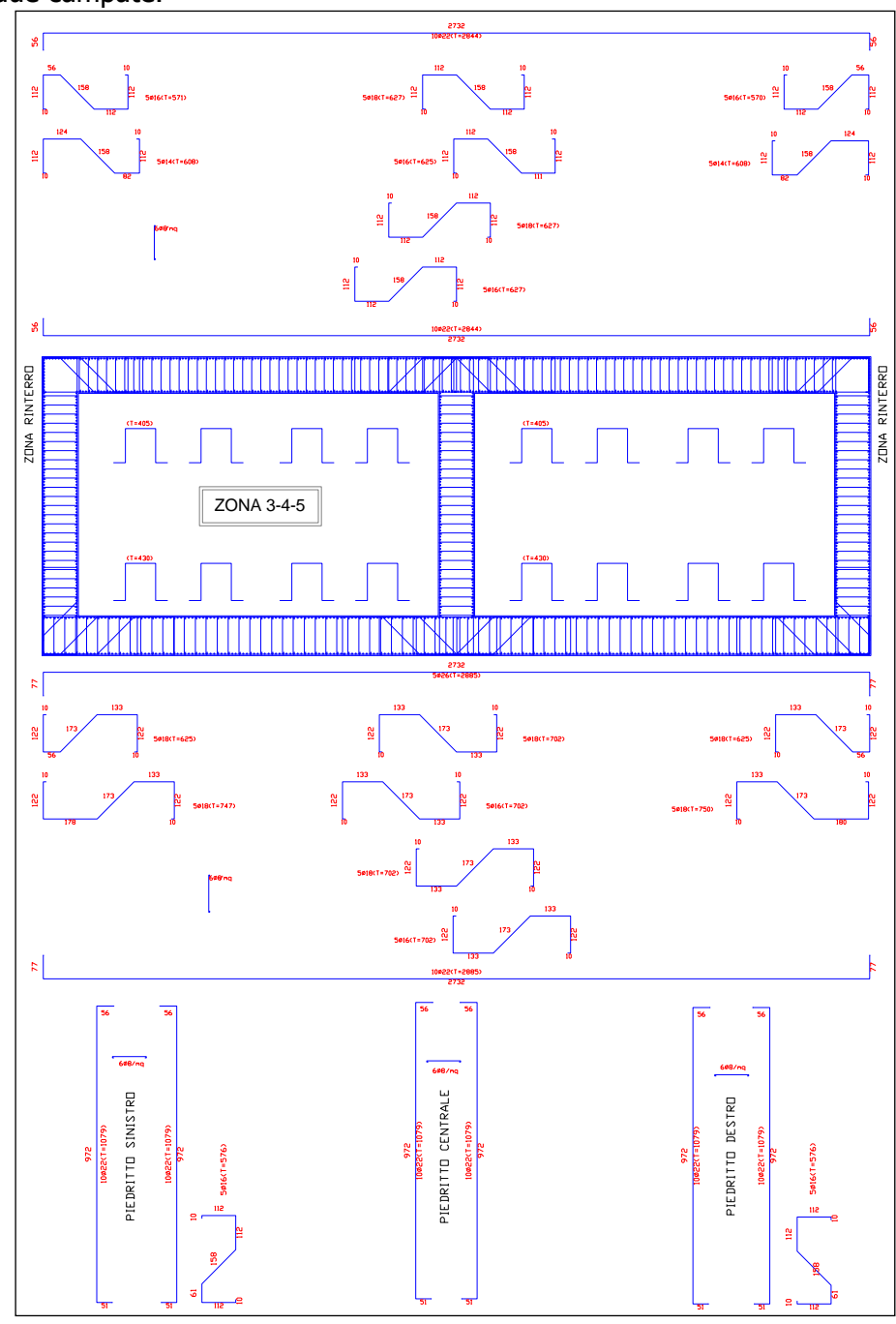
#### Inviluppo sollecitazioni piedritto destro

Y [m]	M <sub>min</sub> [kNm]	M <sub>max</sub> [kNm]	V <sub>min</sub> [kN]	V <sub>max</sub> [kN]	N <sub>min</sub> [kN]	N <sub>max</sub> [kN]
0.65	-108.49	220.63	65.69	174.40	584.66	978.40
4.93	-721.37	-381.97	71.79	174.40	461.93	814.89
9.20	-1466.94	-711.18	77.88	174.40	339.21	651.39

## 10 ANALISI NUMERICHE DOPPIA CANNA (ZONA 3)

#### 1.22 Descrizione analisi numerica

In questo caso gli schemi di carico prevedono oltre al peso proprio dello scatolare, la sovrastante presenza della strada principale, pertanto le azioni gravitazionali agenti sulla soletta di copertura saranno dovute: (i) ai carichi permanenti del rinterro e degli impianti di illuminazione ed areazione; (ii) ai carichi variabili QM1 sull'intero trasverso pari a 9.00 kN/mq e QM2 nella posizione di mezzeria di una delle due campate.



F 14. Schema Armature di Progetto ZONA 3, ZONA 4, ZONA 5

## 1.23 Inviluppo sollecitazioni

Inviluppo sollecitazioni fondazion			

X [m]	M <sub>min</sub> [kNm]	M <sub>max</sub> [kNm]	V <sub>min</sub> [kN]	V <sub>max</sub> [kN]	N <sub>min</sub> [kN]	N <sub>max</sub> [kN]
0.60	-1135.61	-747.87	-849.67	-504.77	387.67	547.87
7.15	421.81	709.17	22.92	52.64	387.67	547.87
13.70	-1381.96	-799.33	-738.72	-429.55	391.86	579.23
20.25	421.81	632.72	-26.40	-12.34	391.86	579.23
26.80	-1043.14	-745.81	503.37	746.56	391.86	579.23

#### Inviluppo sollecitazioni traverso

X [m]	M <sub>min</sub> [kNm]	M <sub>max</sub> [kNm]	V <sub>min</sub> [kN]	V <sub>max</sub> [kN]	N <sub>min</sub> [kN]	N <sub>max</sub> [kN]
0.60	-901.28	-436.53	267.72	537.45	200.57	362.48
7.10	341.22	903.76	-47.11	-18.72	200.57	362.48
13.70	-1376.83	-761.62	315.20	533.36	198.32	331.11
20.25	340.23	543.03	20.97	52.45	198.32	331.11
26.80	-690.60	-436.53	-434.87	-267.72	198.32	331.11

#### Inviluppo sollecitazioni piedritto sinistro

Y [m]	M <sub>min</sub> [kNm]	M <sub>max</sub> [kNm]	V <sub>min</sub> [kN]	V <sub>max</sub> [kN]	N <sub>min</sub> [kN]	N <sub>max</sub> [kN]
0.65	-1135.61	-747.87	410.63	592.14	513.17	864.45
4.93	30.15	152.21	-15.43	4.77	390.44	700.95
9.20	-901.28	-436.53	-362.48	-200.57	267.72	537.45

#### Inviluppo sollecitazioni piedritto centrale

Y [m]	M <sub>min</sub> [kNm]	M <sub>max</sub> [kNm]	V <sub>min</sub> [kN]	V <sub>max</sub> [kN]	N <sub>min</sub> [kN]	N <sub>max</sub> [kN]
0.65	-69.13	26.80	-10.72	31.36	878.73	1493.00
4.93	-7.26	64.94	-4.62	31.36	756.01	1329.49
9.20	-13.16	199.01	-1.73	31.36	633.28	1165.99

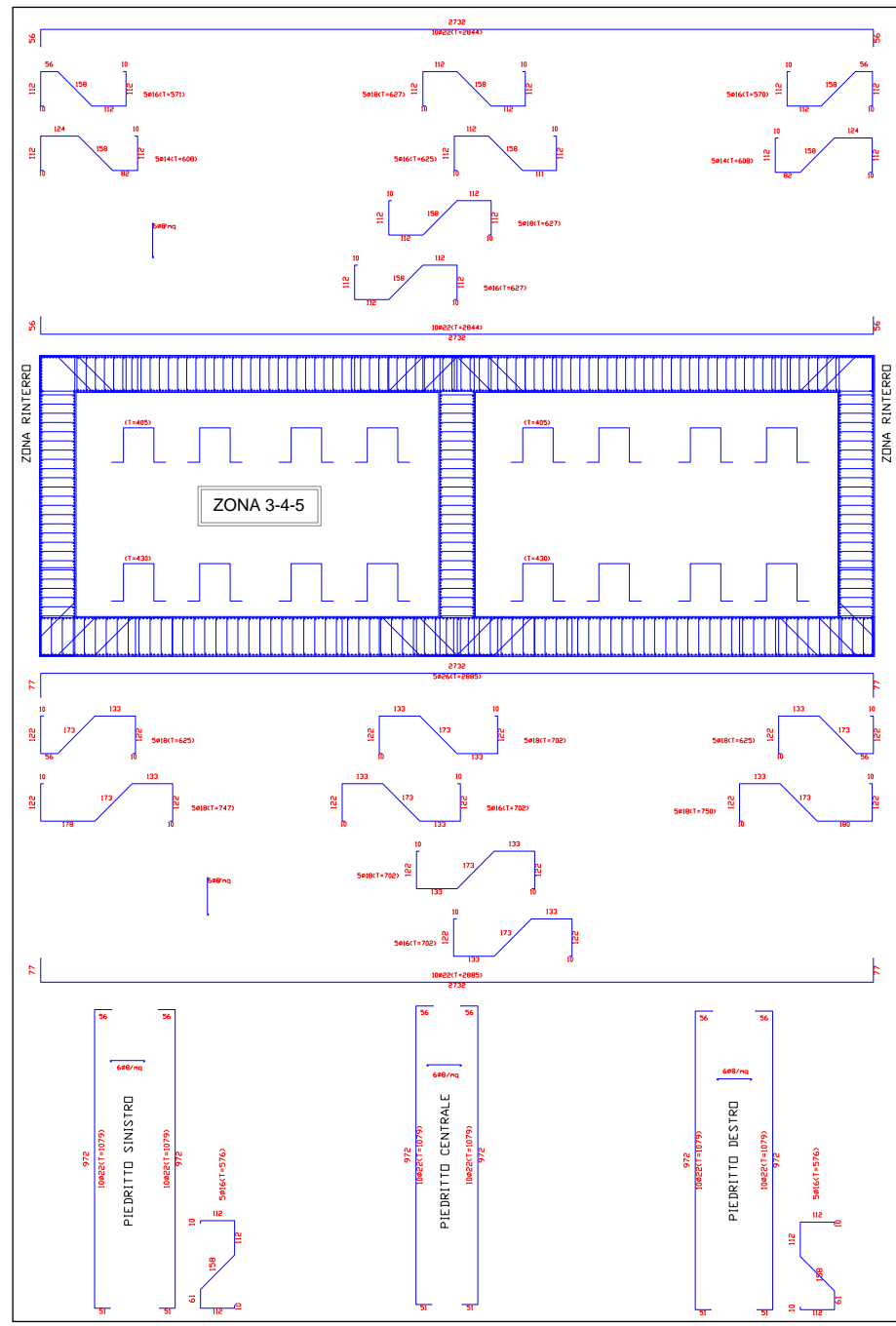
#### Inviluppo sollecitazioni piedritto destro

Y [m]	M <sub>min</sub> [kNm]	M <sub>max</sub> [kNm]	V <sub>min</sub> [kN]	V <sub>max</sub> [kN]	N <sub>min</sub> [kN]	N <sub>max</sub> [kN]
0.65	-1043.14	-745.81	-595.93	-411.07	513.17	761.87
4.93	62.24	159.98	-4.76	7.64	390.44	598.37
9.20	-690.60	-436.53	198.32	331.11	267.72	434.87

## 11 ANALISI NUMERICHE DOPPIA CANNA (ZONA 4)

#### 1.24 Descrizione analisi numerica

In questo caso gli schemi di carico prevedono oltre al peso proprio dello scatolare, la sovrastante presenza della strada principale, pertanto le azioni gravitazionali agenti sulla soletta di copertura saranno dovute: (i) ai carichi permanenti del rinterro e degli impianti di illuminazione ed areazione; (ii) ai carichi variabili QM1 sull'intero trasverso pari a 9.00 kN/mq e QM2 posto in corrispondenza del piedritto centrale.



F 15. Schema Armature di Progetto ZONA 3 E ZONA 4 E ZONA 5

## 1.25 Inviluppo sollecitazioni

Inviluppo	sollecitazioni	fondazione

X [m]	M <sub>min</sub> [kNm]	M <sub>max</sub> [kNm]	V <sub>min</sub> [kN]	V <sub>max</sub> [kN]	N <sub>min</sub> [kN]	N <sub>max</sub> [kN]
0.60	-1035.01	-744.73	-762.78	-504.77	387.59	546.14
7.15	421.81	663.50	22.92	45.59	387.59	546.14
13.70	-1424.96	-799.33	-769.26	-429.55	387.59	546.14
20.25	421.81	663.50	-27.55	-12.50	387.59	546.14
26.80	-1035.01	-744.72	503.37	760.55	387.59	546.14

#### Inviluppo sollecitazioni traverso

X [m]	M <sub>min</sub> [kNm]	M <sub>max</sub> [kNm]	V <sub>min</sub> [kN]	V <sub>max</sub> [kN]	N <sub>min</sub> [kN]	N <sub>max</sub> [kN]
0.60	-730.93	-436.53	267.72	449.18	197.66	325.56
7.09	341.33	598.44	-36.76	-17.97	197.66	325.56
13.70	-1322.61	-761.62	315.20	617.37	197.66	325.56
20.31	341.33	598.44	17.97	36.76	197.66	325.56
26.80	-730.93	-436.53	-449.18	-267.72	197.66	325.56

#### Inviluppo sollecitazioni piedritto sinistro

Y [m]	M <sub>min</sub> [kNm]	M <sub>max</sub> [kNm]	V <sub>min</sub> [kN]	V <sub>max</sub> [kN]	N <sub>min</sub> [kN]	N <sub>max</sub> [kN]
0.65	-1035.01	-744.73	408.55	575.68	513.17	776.18
4.93	57.27	156.57	-12.74	4.77	390.44	612.68
9.20	-730.93	-436.53	-325.56	-197.66	267.72	449.18

#### Inviluppo sollecitazioni piedritto centrale

Y [m]	M <sub>min</sub> [kNm]	M <sub>max</sub> [kNm]	V <sub>min</sub> [kN]	V <sub>max</sub> [kN]	N <sub>min</sub> [kN]	N <sub>max</sub> [kN]
0.65	-26.88	26.88	-10.72	10.72	878.73	1561.75
4.93	-7.26	7.26	-4.62	4.62	756.01	1398.25
9 20	-13 16	13 16	-1 73	1 73	633 28	1234 75

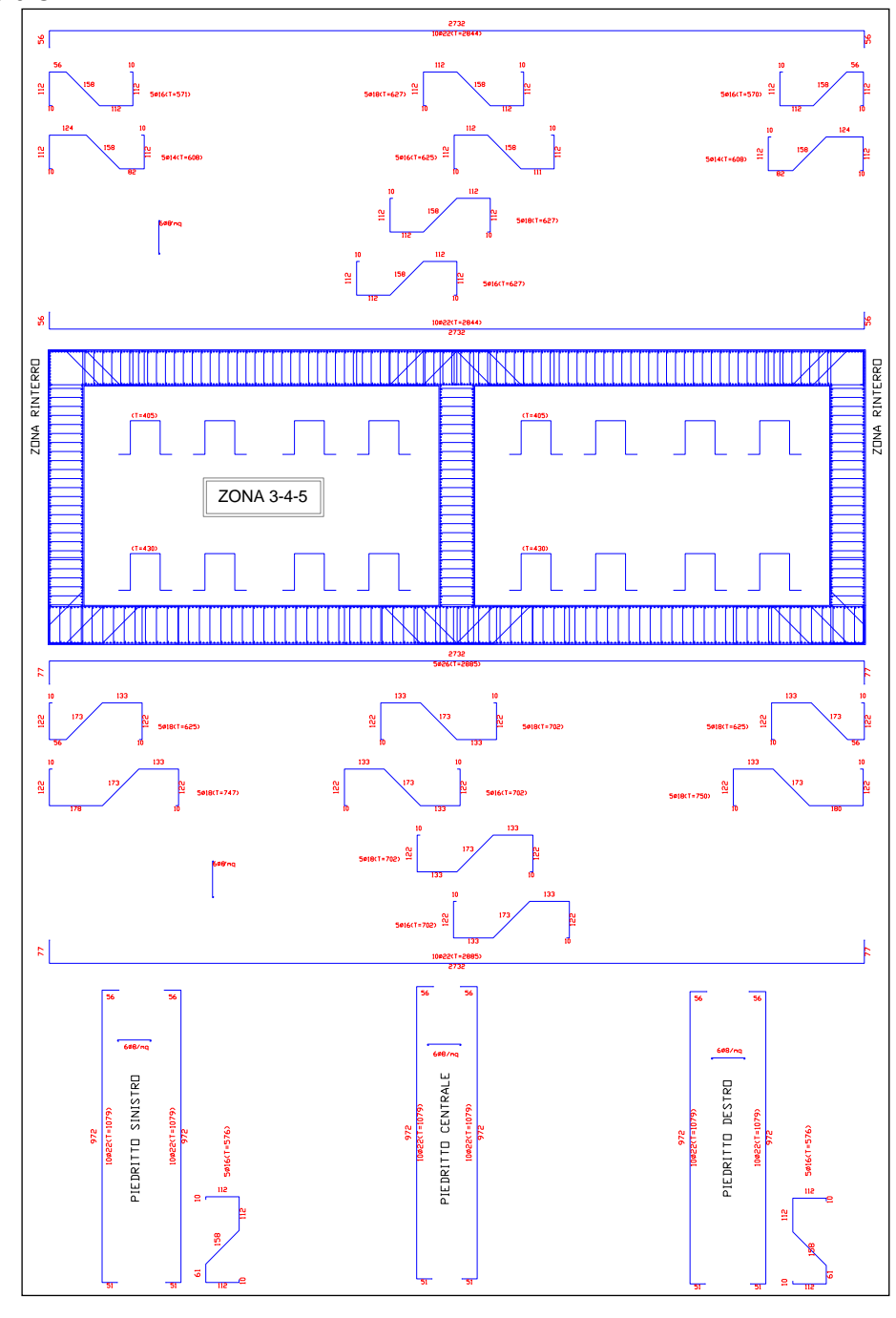
#### Inviluppo sollecitazioni piedritto destro

Y [m]	M <sub>min</sub> [kNm]	M <sub>max</sub> [kNm]	V <sub>min</sub> [kN]	V <sub>max</sub> [kN]	N <sub>min</sub> [kN]	N <sub>max</sub> [kN]
0.65	-1035.01	-744.72	-575.68	-408.55	513.17	776.18
4.93	57.27	156.57	-4.76	12.74	390.44	612.68
9.20	-730.93	-436.53	197.66	325.56	267.72	449.18

## 12 ANALISI NUMERICHE DOPPIA CANNA (ZONA 5)

#### 1.26 Descrizione analisi numerica

In questo caso gli schemi di carico prevedono oltre al peso proprio dello scatolare, la sovrastante presenza della strada principale, pertanto le azioni gravitazionali agenti sulla soletta di copertura saranno dovute: (i) ai carichi permanenti del rinterro e degli impianti di illuminazione ed areazione; (ii) ai carichi variabili QM1 sull'intero trasverso pari a 9.00 kN/mq e QM2 posto in adiacenza al piedritto laterale.



F 16. Schema Armature di Progetto ZONA 3, ZONA 4, ZONA 5

## 1.27 Inviluppo sollecitazioni

#### Inviluppo sollecitazioni fondazione

X [m]	M <sub>min</sub> [kNm]	M <sub>max</sub> [kNm]	V <sub>min</sub> [kN]	V <sub>max</sub> [kN]	N <sub>min</sub> [kN]	N <sub>max</sub> [kN]
0.60	-1226.71	-747.87	-909.80	-504.77	390.60	569.83
7.15	421.81	730.59	22.92	57.68	390.60	569.83
13.70	-1283.82	-799.33	-697.20	-429.55	392.61	584.99
20.25	421.81	618.41	-26.40	-12.24	392.61	584.99
26.80	-1054.58	-747.36	503.37	748.75	392.61	584.99

#### Inviluppo sollecitazioni traverso

X [m]	M <sub>min</sub> [kNm]	M <sub>max</sub> [kNm]	V <sub>min</sub> [kN]	V <sub>max</sub> [kN]	N <sub>min</sub> [kN]	N <sub>max</sub> [kN]
0.60	-818.10	-436.53	267.72	598.43	199.83	342.15
7.16	340.05	687.83	-86.14	-21.35	199.83	342.15
13.70	-1345.02	-761.62	315.20	531.09	197.82	326.99
20.25	340.23	559.97	20.97	50.18	197.82	326.99
26.80	-688.53	-436.53	-437.14	-267.72	197.82	326.99

#### Inviluppo sollecitazioni piedritto sinistro

Y [m]	M <sub>min</sub> [kNm]	M <sub>max</sub> [kNm]	V <sub>min</sub> [kN]	V <sub>max</sub> [kN]	N <sub>min</sub> [kN]	N <sub>max</sub> [kN]
0.65	-1226.71	-747.87	413.93	616.79	513.17	925.44
4.93	31.40	152.21	-2.85	5.07	390.44	761.94
9.20	-818.10	-436.53	-342.15	-199.83	267.72	598.43

#### Inviluppo sollecitazioni piedritto centrale

Y [m]	M <sub>min</sub> [kNm]	M <sub>max</sub> [kNm]	V <sub>min</sub> [kN]	V <sub>max</sub> [kN]	N <sub>min</sub> [kN]	N <sub>max</sub> [kN]
0.65	-30.16	26.80	-10.72	15.15	878.73	1424.54
4.93	-7.26	38.11	-4.62	15.15	756.01	1261.03
9.20	-13 16	102 88	-1 73	15 15	633 28	1097 53

#### Inviluppo sollecitazioni piedritto destro

Y [m]	M <sub>min</sub> [kNm]	M <sub>max</sub> [kNm]	$V_{min}$ [kN]	$V_{max}$ [kN]	N <sub>min</sub> [kN]	N <sub>max</sub> [kN]
0.65	-1054.58	-747.36	-600.49	-411.64	513.17	764.14
4.93	61.89	159.46	-4.76	7.32	390.44	600.64
9.20	-688.53	-436.53	197.82	326.99	267.72	437.14